

BOLETÍN CLIMÁTICO DE BCS

REVISTA DEL CENTRO DE INVESTIGACIÓN CIENTÍFICA Y DE EDUCACIÓN SUPERIOR DE ENSENADA,
UNIDAD ACADÉMICA LA PAZ

GRUPO DE OCEANOGRAFÍA TROPICAL Y LABORATORIO DE SENSORES REMOTOS Y VEHÍCULOS
AUTÓNOMOS NO TRIPULADOS (SERVANT)

Novedades del Clima Regional



Año 1 | Núm. 9 | Septiembre 2025

Fotografía de portada: Efectos de la sequía en la zona costera de la Bahía de La Paz. Foto tomada el 21 de octubre del 2025 en el Km. 32, de la brecha San Juan de la Costa - San Evaristo, cercana a la Estación Meteorológica Punta Coyote, B.C.S., utilizando una cámara FUJIFILM XP, 6m/20ft waterproof, con resolución de 16 megapíxeles. Fotógrafos: Hugo Herrera Cervantes, Hernando Torres Chavez.

BOLETÍN CLIMÁTICO DE BCS

DIRECTORIO

Boletín Climático del Centro de Investigación Científica y de Educación Superior de Ensenada
Unidad Académica La Paz <https://ulp.cicese.mx/BoletinClimBCS/>

Coordinación

Armando Trasviña Castro trasvi@cicese.mx

Eduardo González Rodríguez egonzale@cicese.edu.mx

Cotsikayala Pacheco Ramírez
Editor

Alfredo Aguirre Estrada
Editor Técnico

ELABORACIÓN

Dr. Armando Trasviña Castro - Laboratorio SERVANT-CICESE-ULP

Dr. Eduardo González - Rodríguez CICESE-ULP

Dr. Romeo Saldivar-Lucio Investigador por México - SECIHTI-CICESE-ULP

Dr. Jorge Cortés Ramos Investigador por México - SECIHTI-CICESE-ULP

Dr. José Denis Osuna Amador - Investigador Campo Experimental Todos Santos INIFAP

Dr(c). Cotsikayala Pacheco-Ramírez - Est. de Doc. en Ciencias de la Vida-CICESE

Dr. Hugo Herrera Cervantes - CICESE-ULP

Dr. Luis Manuel Farfán Molina - CICESE-ULP

Dr. Carlos Robinson M. - Instituto de Ciencias del Mar y Limnología UNAM

Laboratorio

SERVANT



BOLETÍN CLIMÁTICO DE BCS, año 1, núm. 9, septiembre 2025, es una publicación mensual electrónica, editada por el Centro de Investigación Científica y de Educación Superior de Ensenada, Baja California. Unidad Académica La Paz, BCS, Miraflores No. 334 e/ Mulegé y La Paz. C.P. 23050. La Paz, BCS, México, cicese.ulp@gmail.com, (612) 121-3031. <<https://ulp.cicese.mx/>>. Editor responsable: Armando Trasviña Castro. ISSN pendiente. Responsable de la última actualización de este número: Cotsikayala Pacheco-Ramírez.

BOLETÍN CLIMÁTICO DE BCS

<https://doi.org/10.5281/zenodo.19443260>

Novedades del clima regional Contenido

| | |
|--|----|
| Presentación | 3 |
| 1. Introducción | 4 |
| 2. Nivel del mar absoluto | 6 |
| Armando Trasviña Castro | |
| 3. Temperatura Superficial del Mar, Productividad Primaria y Altimetría satelital | 14 |
| Eduardo González Rodríguez | |
| 4. Paisaje Pelágico | 22 |
| Romeo Saldívar-Lucio | |
| 5. Monitoreo satelital de florecimientos algales | 28 |
| Cotsikayala Pacheco-Ramírez | |
| 6. Viento (VTO) in situ | 34 |
| Jorge Cortés Ramos | |
| 7. Condiciones meteorológicas en la Bahía de la Paz | 39 |
| Hugo Herrera Cervantes | |
| 8. Clima en el Valle de Santo Domingo | 44 |
| José Denis Osuna Amador | |
| 9. Ciclones tropicales | 50 |
| Luis Manuel Farfán Molina | |
| 10. Temperatura del aire en el Golfo de California | 55 |
| Carlos Robinson M. | |

Presentación

El Grupo de Oceanografía Tropical incluye al Laboratorio de Sensores Remotos y Vehículos Autónomos no Tripulados (SERVANT) y ambos forman parte de la Unidad Académica del CICESE en La Paz (ULP), Baja California Sur, del CICESE. El grupo de Oceanografía Tropical inició en 1998, y el laboratorio SERVANT inició formalmente en marzo de 2016. Realizamos investigación oceanográfica y climática de la zona costera buscando contribuir al bienestar de las pequeñas comunidades costeras del NW de México. Conjuntamos capacidades de monitoreo, análisis e investigación oceanográfica y climática. Un aspecto poco convencional es que integramos una visión de los cambios ambientales y climáticos en escalas espaciales y temporales múltiples. Incluyendo el monitoreo e investigación de la dinámica costera, combinado con información satelital y de baja altura desde drones.



Premio INNOVADORES REGIONALES 2025, otorgado al Grupo de Oceanografía Tropical y laboratorio SERVANT por Legacy Workgroup, San José del Cabo, febrero de 2025.

Nuestros objetivos incluyen realizar investigación oceanográfica y climática de la zona costera, buscando contribuir al bienestar de las pequeñas comunidades de nuestra región. Este es un esfuerzo colaborativo e interinstitucional de investigación y observación de perturbaciones naturales y antrópicas del océano costero.

1. Introducción

Este boletín tiene como objetivo mostrar el estado del océano en el mes anterior a su publicación, en particular en las costas de Baja California Sur (BCS).

En el Océano Pacífico Ecuatorial las condiciones de La Niña surgieron en septiembre de 2025, según indicado por la expansión de temperaturas de superficie oceánicas (SSTs, por sus siglas en inglés) a través del este y centro del Océano Pacífico ecuatorial (https://www.cpc.ncep.noaa.gov/products/analysis_monitoring/enso_advisory/ensodisc_Sp.shtml). Al mismo tiempo, el índice decadal del Pacífico (PDO, <https://ds.data.jma.go.jp/tcc/tcc/products/elnino/decadal/pdo.html>) se encuentra en fase fría desde antes de 2019.

Este boletín contiene artículos dedicados a diferentes variables de interés. En muchos de los artículos elegimos tres sitios específicos para describir su variabilidad (Figura 1.1): San Juanico (costa occidental de BC, océano pacífico), Bahía de La Paz (costa del golfo de California) y parque nacional Cabo Pulmo (Entrada al Golfo de California). En estas localidades reportamos series de tiempo obtenidas de datos satelitales, reanálisis (modelos que incorporan observaciones satelitales) y en algunos casos observaciones *in situ*.

El área de estudio corresponde al océano costero del estado de BCS (Figura 1.1). Los círculos de colores en la Figura 1.1 indican los sitios de interés en donde presentamos análisis de series de tiempo de diferentes variables, de sur a norte: Entrada al Golfo de California (Parque Nacional Cabo Pulmo), Bahía de La Paz y Golfo de Ulloa (San Juanico).

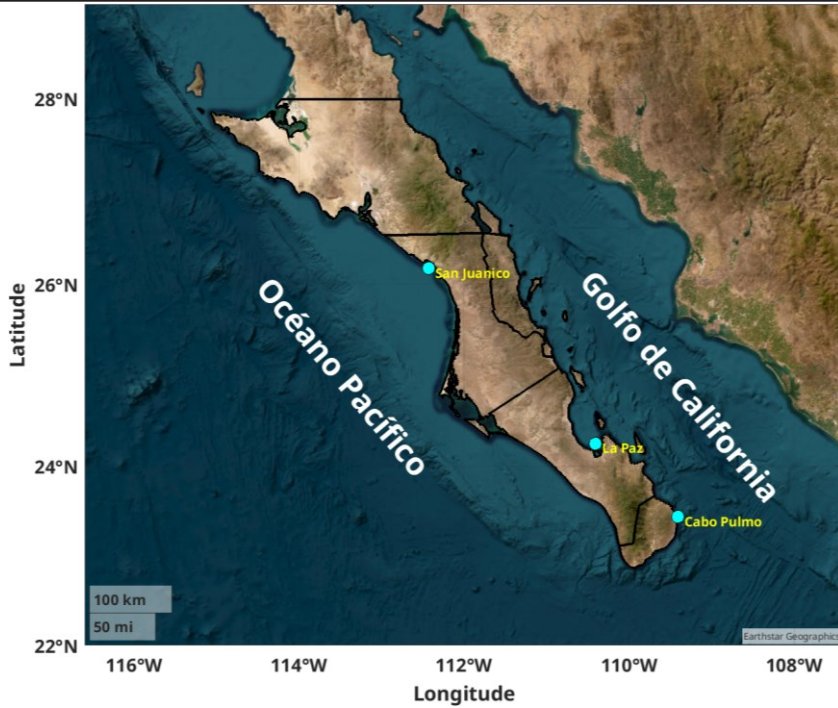


Figura 1.1: Océano costero de Baja California Sur, dentro de la región oceanográfica del Pacífico Tropical Oriental y de la Corriente de California. Los círculos de colores marcan sitios donde presentamos series de tiempo de diferentes variables.

2. Nivel del mar absoluto

Armando Trasviña Castro
trasvi@cicese.mx

Resumen | El análisis de los últimos años del nivel del mar absoluto exhibe los efectos de la Niña 2022, El Niño 2023 y La Niña 2024. En particular, destacamos la transición hacia La Niña del 2024 que precede a las condiciones frías de los primeros meses de 2025. Los primeros meses de 2025 son claramente anómalos en términos de nivel del mar, temperatura del mar y otras variables oceanográficas. A nivel de cuenca también hay cambios significativos. En septiembre de 2025 nos encontramos ya con el Pacífico Ecuatorial en fase fría (La Niña). La Oscilación Decadal del Pacífico alcanzó un valor récord en 75 años (de 1950 a 2025). Es la PDO más fría del período (Carlos Robinson, com. pers.) (https://climateimpactcompany.com/daily-feature-record-strong-pdo-observed-in-july-2/?utm_source=chatgpt.com). Esto se refleja en las anomalías negativas de temperatura y positivas tanto de clorofila como de productividad primaria neta (Capítulo 3 de este boletín), con las anomalías más elevadas en la costa occidental. En particular, en la costa occidental (San Juanico, [Figura 3.6](#)) la productividad primaria neta presenta anomalías positivas persistentes desde 2024. Al mismo tiempo, San Juanico registró concentraciones de 3 grupos del fitoplancton por debajo del promedio climatológico ([Figura 5.3](#)), a diferencia de bahía de La Paz ([Figura 5.2](#)) y Cabo Pulmo ([Figura 5.1](#)), donde se mantuvieron elevadas. En la bahía de La Paz el 4 de abril de 2025 se dio la alerta de un evento FAN (capítulo 5 de este boletín). En mayo de 2025 se siguieron recibiendo reportes de ocurrencia de especies marinas en sitios inusuales, además de la mortalidad de cetáceos. En julio de 2025 se reportan eventos intensos de viento del Pacífico (vientos del Coromuel) y un florecimiento algal nocivo que se prolonga por varias semanas en la Bahía de La Paz, causando mortalidad de peces. Los cambios en la distribución de la megafauna marina y su mortalidad inusual coinciden con las anomalías oceanográficas que reportamos en este boletín. Por ejemplo, este invierno de 2025 hay reportes de la ocurrencia de especies en sitios inesperados, particularmente hay reportes de Ballena Gris desde Cabo Pulmo hasta el Parque Nacional Bahía de Loreto. Abajo destaco dos noticias.

1. Presencia de ballena gris en el Parque Nacional Cabo Pulmo
<https://oem.com.mx/elsudcaliforniano/local/sorprendente-avistamiento-de-ballenas-grises-en-cabo-pulmo-21790056>
2. La mortalidad de ballenas en las costas de BCS en 2025 se elevó a 91 individuos:
<https://www.msn.com/es-mx/noticias/mexico/aumenta-el-n%C3%BAmero-de-ballenas-grises-muertas-en-el-oc%C3%A9ano-pac%C3%ADfico-milenio-h%C3%A1bitat/vi-AA1EIJd?ocid=socialshare>
3. Los avisos de marea roja se pueden consultar en el sitio web del Sistema de Alerta Temprana de Florecimientos Algales Nocivos para toda la Península de Baja California (<https://siat-cicese.mx/#situacion-actual>).

En este verano los huracanes y tormentas tropicales se mantuvieron relativamente alejados de la costa en la Península de Baja California, aunque contribuyeron al flujo de humedad para la convección en la región. En consecuencia, la precipitación acumulada en el mes de septiembre de 2025 fue más elevada a lo normal en varias localidades de los municipios de

Los Cabos, La Paz y Mulegé

Introducción

En esta sección presentamos la variación del nivel del mar absoluto (NMA). Esta es la variación determinada con referencia al geoide, es decir, al nivel del mar en reposo. A diferencia de las anomalías de nivel del mar, el NMA contiene las variaciones estacionales e interanuales y la tendencia de largo período debida al calentamiento global.

El NMA se determina a partir de misiones de altimetría satelital múltiples, desde 1993 al presente.

Esta variable permite visualizar la variación debida a la expansión y contracción del nivel del mar debidas al calentamiento y enfriamiento estacional. Se aprecian las variaciones interanuales debidas a fenómenos tipo El Niño/La Niña, y la tendencia de largo período debida al calentamiento global. Desde luego también incluye la influencia en el nivel del mar de eventos transitorios, como el paso de huracanes o tormentas.

Área de estudio

El área de estudio es el océano costero alrededor de la Península de Baja California, con énfasis en el sur de la península.

Los diagramas de evolución en el tiempo (tiempo vs latitud, también conocidos como diagramas de Hovmoller), abarcan desde la entrada al Golfo de California (23 latitud N) hasta el Alto Golfo de California, mientras que por la costa del Pacífico, llegan hasta el puerto de Ensenada (30 latitud N).

Seleccionamos 3 sitios para las series de tiempo: uno en la entrada al Golfo de California (el Parque Nacional Cabo Pulmo), el segundo en la Bahía de La Paz y uno más en la costa del Pacífico, en un lugar representativo del Golfo de Ulloa (San Juanico, BCS, [Figura 1.1](#)).

Metodología

Los datos que presentamos aquí provienen de un reanálisis del nivel del mar. Se basa en mediciones de altimetría satelital de múltiples misiones entre 1993 y el presente. Es un producto global, libre de huecos y cuenta con una resolución temporal diaria y espacial de ~12.5 x 12.5 km.

Esta información se descarga de dos bases de datos:

Global Ocean Gridded L 4 Sea Surface Heights And Derived Variables Reprocessed 1993 Ongoing

Product ID SEALEVEL_GLO_PHY_L4_MY_008_047

https://data.marine.copernicus.eu/product/SEALEVEL_GLO_PHY_L4_MY_008_047/description

Las fuentes son observaciones de altimetría satelital, globales, desde latitud -89.94° a 89.94° , y longitud -179.94° a 179.94° con resolución espacial de $0.125^{\circ} \times 0.125^{\circ}$. Desde 31 dic 1992 hasta 30 dic 2023. Resolución temporal diaria.

Y los datos más recientes se descargan del análisis en casi-tiempo real (NRT):

1. Global Ocean Gridded L 4 Sea Surface Heights And Derived Variables Nrt

Product ID SEALEVEL_GLO_PHY_L4_NRT_008_046

https://data.marine.copernicus.eu/product/SEALEVEL_GLO_PHY_L4_NRT_008_046/description

Las fuentes son observaciones de altimetría satelital, globales, desde latitud -89.94° a 89.94° y longitud -179.94° a 179.94° con resolución espacial de $0.125^{\circ} \times 0.125^{\circ}$. Desde 31 dic 2021 hasta el presente. Resolución temporal diaria.

Resultados

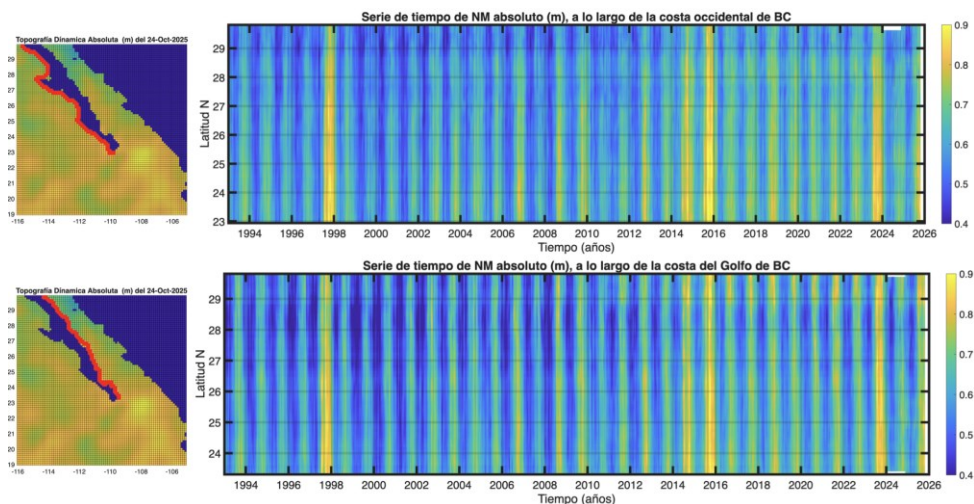
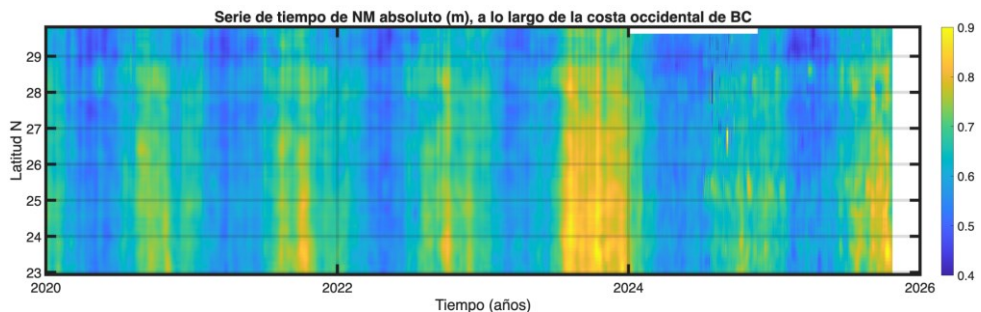


Figura 2.1: Evolución del nivel del mar (NM absoluto) a lo largo de las dos costas de la

península de BC desde enero de 1993 hasta octubre de 2025. Arriba: costa occidental; abajo: costa del Golfo de California.

Estos diagramas muestran la evolución del nivel del mar absoluto (NMA) a lo largo de la costa (Figura 2.1). Las unidades son metros (m) y destacan los máximos que corresponden a eventos de elevación/depresión (cálidos/fríos) del nivel del mar en tonos amarillos/azules. El mapa de la izquierda muestra las estaciones (puntos rojos) y el nivel del mar para el 1 de agosto de 2025. La figura de arriba corresponde a la Costa Occidental y la de abajo al Golfo de California. Muestran el cambio del nivel del mar a lo largo de la costa (puntos rojos) desde 1993 al presente (32 años). Cada año muestra la variación estacional debida a la elevación del verano (el agua cálida se expande, tonos amarillos) a la depresión del invierno (el agua fría se contrae, tonos azules). Y por eso el gráfico muestra alternancia de tonos amarillos y azules. El cambio estacional tiene un rango de unos 50 cm (0.5 m), aunque existen claras diferencias año con año. Los años de mayor elevación (amarillos intensos) corresponden casi siempre a años Niño, por ejemplo 1997-1998 o 2015-2016. También hay diferencias claras entre la Costa occidental y el Golfo de California. En la costa del golfo (panel inferior) el nivel del mar invernal desciende más que en la costa occidental (panel superior), por esto el panel inferior muestra tonos azules más intensos. También podemos observar que en Alto Golfo de California (parte alta del panel inferior) los máximos extremos (> 0.85 en amarillo) se vuelven más comunes de 2014 a la fecha.

La variabilidad interanual destaca por los eventos cálidos (en amarillo) El Niño de 1997-1998, El Blob cálido de 2014, El Niño de 2015 y El Niño de 2023 (Peng *et al.*, 2024). Es importante destacar, que el evento de 2023 alcanza elevaciones comparables con las del 2015. El año de 2023, fue más intenso (más amarillo) y alcanzó latitudes más altas en el interior del Golfo de California (panel inferior) que en la Costa Occidental (panel superior). A partir de 2024 y hasta el presente, el nivel del mar se ha mantenido por debajo de lo esperado debido a un verano menos cálido de lo normal, asociado a La Niña 2024. Además en estos años la Oscilación Decadal del Pacífico alcanzó un récord en 75 años. Es la PDO más fría de 1950 a 2025 (Carlos Robinson, com. pers.) (https://climateimpactcompany.com/daily-feature-record-strong-pdo-observed-in-july-2/?utm_source=chatgpt.com).



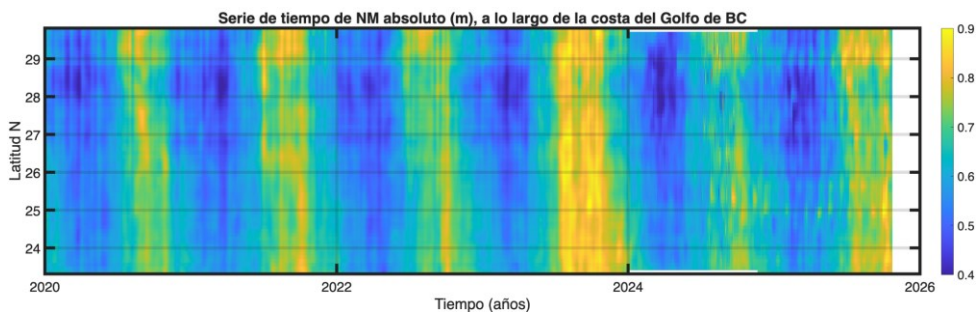


Figura 2.2: Los últimos años de la evolución del nivel del mar (NM absoluto) a lo largo de las dos costas de la península de BC desde enero de 2020 hasta octubre de 2025. Arriba: costa occidental; abajo: costa del Golfo de California.

La [Figura 2.2](#) muestra el comportamiento del nivel del mar del año 2020 al presente. En el semestre de invierno ambas costas experimentan descenso del nivel del mar (tonos azules), aunque siempre es mayor la depresión (azules más intensos) dentro del Golfo de California. Es en el mes de julio es cuanto ocurre el máximo de verano (tonos amarillos). Y se intensifica en años cálidos, por ejemplo, en el verano de 2023 el máximo es muy intenso debido al fenómeno del Niño. Esto precede a un verano débil en 2024, auspiciado por condiciones menos cálidas asociadas al evento de La Niña 2024-2025. El verano de 2025 continua con una señal débil de nivel del mar.

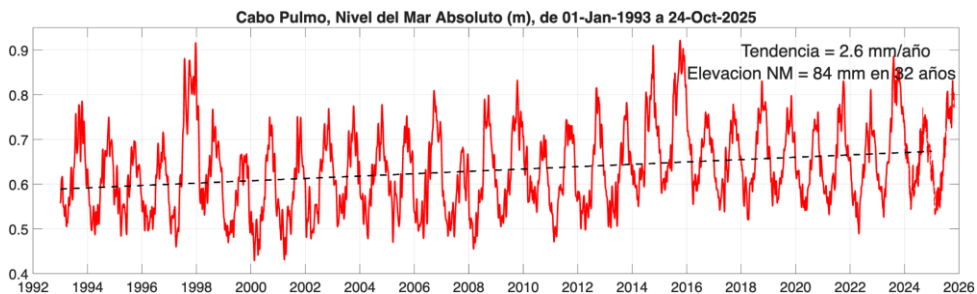


Figura 2.3: Nivel del mar absoluto (m) en Cabo Pulmo, BCS. Inicia en enero de 1993 y termina en octubre de 2025. Incluye el nivel del mar con referencia al geode y la tendencia de largo período debida al calentamiento global. Este sitio representa la variabilidad de la entrada al Golfo de California.

La [Figura 2.3](#) contiene la serie de tiempo del nivel del mar absoluto (m) en Cabo Pulmo, desde enero de 1993 hasta octubre de 2025. La variación estacional consiste en la elevación del nivel del mar en verano y el descenso en invierno. Sin embargo, destacan los máximos de 1997-1998, asociado a un evento de El Niño, el de 2014 debido al Blob cálido, y el de 2015 debido a otro evento El Niño. El año 2023 se encuentra entre los máximos del registro por 2 razones: a) el evento El Niño que calentó el Pacífico Tropical Oriental y, b) el incremento del nivel del mar por calentamiento global. Ambos fenómenos contribuyen a la elevación del

nivel del mar que se reporta aquí. El incremento del nivel del mar debido al calentamiento global en esta localidad tiene una tendencia de 2.6 mm/año, para un total de 84 mm en los 32 años de registro. Es importante notar que durante el verano de 2024 sólo se alcanza un máximo débil. Uno de los más débiles del registro. Y a esto le sigue una débil caída estacional de invierno. En julio de 2025 se registra el primer máximo de este año del nivel del mar por la llegada del verano, pero en octubre de 2025 hay un 20 pico de nivel del mar. La respuesta que observamos aquí no es exclusiva de la zona costera, este sitio es representativo de lo que sucede en gran parte de la Entrada al Golfo de California.

La [Figura 2.4](#) contiene la serie de tiempo del nivel del mar absoluto (m) en Bahía de la Paz, desde enero de 1993 hasta octubre de 2025. Su variación estacional típica consiste en la elevación del nivel del mar en verano y el descenso en invierno. Destacan los máximos de asociado al evento de El Niño 1997- 1998, el de 2014 debido al Blob cálido, y el de 2015 debido a otro evento El Niño. El año 2023 se encuentra entre los máximos del registro por 2 razones: a) el evento El Niño que calentó el Pacífico Tropical Oriental y, b) el incremento del nivel del mar por calentamiento global. Ambos fenómenos contribuyen a la elevación del nivel del mar que se reporta aquí. El incremento del nivel del mar debido al calentamiento global en esta localidad tiene una tendencia de 2.8 mm/año, para un total de 89 mm en los 32 años de registro. En julio de 2024 el nivel del mar alcanza un débil máximo de verano, mucho menor que el verano de 2023 y comparable solamente con el verano de 2010 en los 32 años del registro. Aquel año de 2010 también experimentó los efectos de un evento frío (La Niña en el Ecuador). En octubre de 2025 la elevación del nivel del mar alcanzó el máximo anual de este verano.

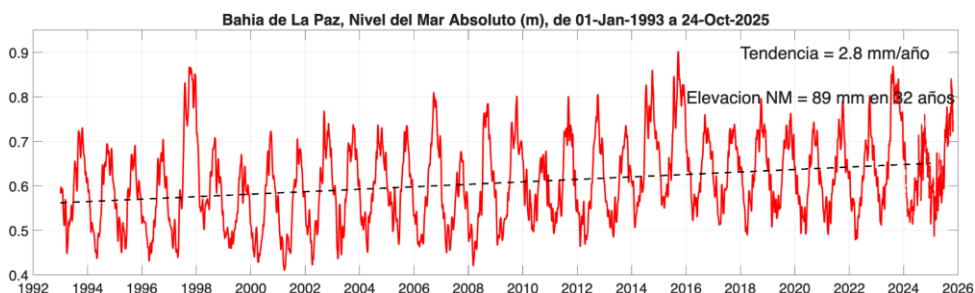


Figura 2.4: Nivel del mar absoluto (m) en la bahía de La Paz, BCS. Inicia en enero de 1993 y termina en octubre de 2025. Incluye el nivel del mar con referencia al geode y la tendencia de largo periodo debida al calentamiento global.

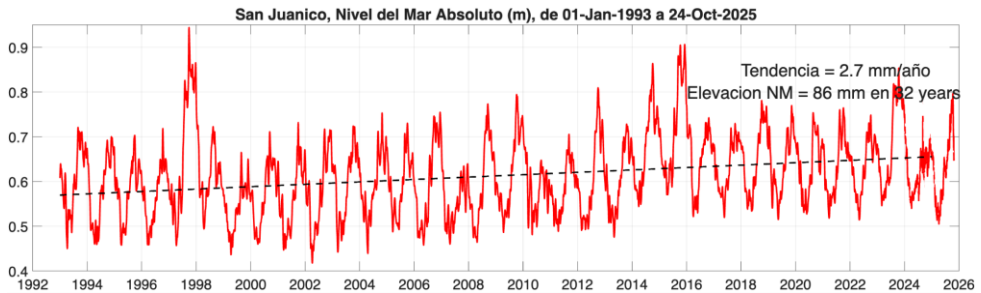


Figura 2.5: Nivel del mar absoluto (m) en la San Juanico, BCS, costa pacífico norte de BCS. Inicia en enero de 1993 y termina en octubre de 2025. Incluye el nivel del mar con referencia al geode y la tendencia de largo período debida al calentamiento global. Este sitio representa la variabilidad del Golfo de Ulloa.

La [Figura 2.5](#) contiene la serie de tiempo del nivel del mar absoluto (m) en San Juanico, en la costa del Pacífico de Baja California, desde enero de 1993 hasta octubre de 2025. La variación estacional típica aquí también consiste en la elevación del nivel del mar en verano y el descenso en invierno. Destacan los máximos de 1997-1998, asociado a un evento El Niño, el de 2014 debido al Blob cálido, y el de 2015 debido a otro evento El Niño. En esta localidad, a diferencia de La Paz y Cabo Pulmo, el año 2023 no destaca como uno de los máximos del registro. Esto se debe a que el evento El Niño no ejerció tanta influencia a esta latitud de la costa occidental de Baja California. El incremento del nivel del mar debido al calentamiento global en esta localidad tiene una tendencia de 2.7 mm/año, para un total de 86 mm en los 32 años de registro. El mes de julio de 2024 registra un débil máximo de verano, con los máximos de nivel del mar absoluto no superan elevaciones de 0.6 m, excepto por un evento aislado. El mes de julio de 2025 registra el máximo ascenso del verano aunque inicia un poco más tarde que en los otros dos sitios y el aumento es aún menor al de 2024. En octubre de 2025 se registra un claro descenso del nivel del mar hacia el invierno. El año 2024 sigue destacando por su comportamiento muy diferente al estacional típico de esta región.

Discusión

En el primer semestre de 2025 los máximos de verano del nivel del mar se alcanzan en octubre en el Golfo de California (La Paz y Cabo Pulmo) y en julio en la Costa Occidental (San Juanico). Esto es acompañado por anomalías negativas de temperatura y positivas de clorofila y productividad primaria neta (Capítulo 3 de este boletín), con máximos en la costa occidental representado en este boletín por San Juanico. En la bahía de La Paz el 4 de abril se dio la alerta de un evento FAN (Capítulo 5 de este boletín). En mayo de 2025 se siguieron recibiendo reportes de ocurrencia de especies marinas en sitios inusuales y de la mortalidad de cetáceos. Las últimas noticias sobre mortalidad de ballenas en 2025 se elevó a 91 individuos en las costas de BCS:

<https://www.msn.com/es-mx/noticias/mexico/aumenta-el-n%C3%BAmero-de-ballenas-grises-muertas-en-el-oc%C3%A9ano-pac%C3%ADfico-milenio-h%C3%A1bitat/vi-AA1ELJjd?ocid=socialshare>

Los cambios en la distribución de la megafauna marina y su mortalidad inusual coinciden con las anomalías oceanográficas que reportamos en este boletín y con cambios extremos a nivel de cuenca que se reflejan en el mínimo histórico del índice de la oscilación decadal del Pacífico (Carlos Robinson, com pers.).

En julio de 2025 la bahía de La Paz registró vientos intensos del Pacífico, un reporte de FAN acompañado de mortalidad de peces, tal como lo puede consultarse en el sitio web del Sistema de Alerta Temprana de Florecimientos Algales Nocivos para toda la Península de Baja California (<https://siat-cicese.mx/#situacion-actual>).

Agosto de 2025 se caracteriza por un descenso atípico del nivel del mar el que, aunado al comportamiento de la cuenca (índice de PDO con valor récord negativo), parece indicar un cambio hacia condiciones más frías en la región. El resto del verano, de septiembre a octubre destacó por la alta humedad y la precipitación más elevada del año.

Referencias

Peng, Q., Xie, S. P., Passalacqua, G. A., Miyamoto, A., and Deser, C.: The 2023 extreme coastal El Niño: Atmospheric and air-sea coupling mechanisms, *Sci. Adv.*, 10, eadk8646, <https://doi.org/10.1126/sciadv.adk8646>, 2024.

3. Temperatura Superficial del Mar, Productividad Primaria y Altimetría satelital

Eduardo González Rodríguez
egonzale@cicese.mx

Resumen | En este artículo se describen las condiciones mensuales de productividad primaria, temperatura superficial del mar, altura del océano y corrientes, derivadas a partir de información satelital. Adicionalmente, se hace un análisis de series de tiempo de estas variables a lo largo del tiempo, desde 2002 a la fecha (julio de 2025), para los sitios Cabo Pulmo, Bahía de La Paz y San Juanico ([Figura 1.1](#)). Los resultados sinópticos se presentan como mapas mensuales de las condiciones promedio y de sus anomalías, mientras que las variaciones de largo plazo sobre las tres regiones seleccionadas se muestran con sus valores de climatologías mensuales, valores del mes, y series de tiempo con sus anomalías.

Introducción

Las mediciones satelitales del océano iniciaron desde la década de los 80 del siglo pasado, inicialmente con datos de temperatura superficial del mar (TSM), posteriormente en los 90 se midió el denominado color del océano, que incluye principalmente estimaciones de clorofila, de igual manera en esa misma década se comenzó a medir la altura del océano y las corrientes geostroficas derivadas. En la actualidad, las mediciones de TSM son muy confiables y con el desarrollo de mejores satélites y modelos se tienen datos con una resolución temporal diaria y espacial de 1 km. [Behrenfeld y Falkowski](#) (1997) propusieron un modelo para tener estimaciones de productividad primaria neta (PPN) a partir de datos satelitales, sin embargo, los datos de PPN no son ampliamente utilizados. Por otro lado, las mediciones de altimetría satelital proporcionan información sobre la altura del mar (ADT) y sus anomalías (SLA), así como de las corrientes geostroficas (CORR); sin embargo, los datos cercanos a la costa, no habían tenido la resolución suficiente, pero a partir de noviembre de 2024 la resolución espacial aumentó a 12 km, lo que da la oportunidad de utilizarlas en esta región. Es a partir de estas variables que se hace una descripción de las condiciones mensuales (mapas), así como de sus anomalías, estimadas con una base mensual. Adicionalmente, se presentan series de tiempo de las anomalías mensuales a partir de 2002 de los sitios mencionados en la [Figura 1.1](#).

Área de estudio

El área de estudio corresponde a las aguas oceánicas frente a las costas del estado de BCS, comprendidas en el cuadrante -120 a -108 de longitud y 22 29 de latitud ([Figura 1.1](#)). Los

círculos de color cian indican los sitios donde se hicieron análisis de series de tiempo para la PP, TSM y Altimetría, parque nacional Cabo Pulmo, La Paz y en San Juanico (sur-norte).

Metodología

Temperatura Superficial del Mar (TSM). El término TSM se refiere a la capa o piel del océano y representa la temperatura de la capa subsuperficial a una profundidad entre 10–20 μm . La TSM es un producto proporcionado por el laboratorio de oceanografía de propulsión a chorro de la agencia espacial de los Estados Unidos (JPL y NASA, respectivamente, por sus siglas en inglés). Es un producto global que no presenta huecos por nubosidad con una resolución temporal diaria y espacial de 1x1 km (Chin *et al.*, 2017) (<https://doi.org/10.5067/GHGMR-4FJo4>), accedido el 12 de octubre de 2025.

Productividad Primaria(PP). La PP es el producto de la fijación de carbono por parte de las plantas a través de la fotosíntesis, es el resultado del total del carbono producido (bruto) menos el utilizado para la respiración. La PP utilizada es derivada de información satelital y está basada en el modelo generalizado de producción vertical propuesto por Behrenfeld y Falkowski (1997) y está basado en las estimaciones de clorofila satelital. Es un producto mensual proporcionado por el Copernicus Marine Environment Monitoring Service (CMEMS, <https://doi.org/10.48670/moi-00281>, Garnesson *et al.*, 2019) con una resolución espacial de 4x4 km, accedido el 12 de octubre de 2025.

Altimetría satelital. La altimetría proporciona información sobre la altura del océano (ADT), su anomalía (SLA) y sobre las corrientes (CORR). Los datos de CORR están compuestos por los componentes zonal y meridional (u y v) con los que se construyen los vectores correspondientes, que indican la velocidad y dirección de las corrientes. Estos productos son estimados por medio una interpolación de diversas misiones (varios satélites) y son proporcionadas por el CMEMS (<https://doi.org/10.48670/moi-00149>). Es un producto global, libre de huecos y cuenta con una resolución temporal diaria y espacial de ~12.5x12.5 km, accedido el 12 de octubre de 2025.

En vista de que las variables seleccionadas son globales, fue necesario hacer una extracción de los datos, para utilizar solo los contenidos dentro del cuadrante definido por los límites de la zona de estudio.

Análisis de series de tiempo

Para el análisis de series de tiempo se seleccionaron, el parque nacional Cabo Pulmo (-109.41, 23.435), Bahía de La Paz (-110.41, 24.25) y San Juanico, BCS (-112.43, 26.17). Las series resultantes corresponden a los valores mensuales a partir de 2002 y hasta septiembre de

2025, así como las anomalías de las variables a lo largo del tiempo.

Adicionalmente, para identificar si hay una la relación interanual de las variables un índice de temperatura de escala más global, se descargaron los datos mensuales para el periodo 2002-2025 del índice oceánico de El Niño (ONI, por sus siglas en inglés, https://origin.cpc.ncep.noaa.gov/products/analysis_monitoring/ensostuff/ONI_v5.php) y se superpusieron a las series de tiempo de cada variable.

Las anomalías, tanto para los mapas como para las series de tiempo, fueron estimadas de la misma forma, primero se estimó la climatología mensual (12 valores resultantes) y posteriormente se le restó el valor del mes correspondiente al valor climatológico mensual:

$$\text{anomalía} = \text{datomensual} - \text{climatologiamensual}$$

Todo el procesado de la información, recorte, generación de series de tiempo, cálculo de climatologías y anomalías, generación de mapas se hizo en Matlab R2024a.

Resultados

Mapas mensuales de distribución

Temperatura Superficial del Mar (TSM). Las condiciones de TSM durante el mes de septiembre de 2025 se muestran en la **Figura 3.1**. El mapa del **panel A** muestra la TSM promedio registradas durante el mes, su rango se ubicó entre 21.3 y 31.6 °C, valores mayores a los de agosto (19.79 y 31.54 °C). **El panel B** muestra las anomalías con respecto al promedio climatológico (2002-2025), el rango de septiembre estuvo entre -0.34 y 2.58°C, rango de 2.92 °C menor en comparación a los 3.34 °C (-1.43 y 1.91 °C) del mes anterior. En términos generales, septiembre fue un mes más cálido que agosto, dominado mayormente por anomalías positivas, las más intensas en parte sur de la costa occidental de la península; durante este mes no se presentaron anomalías negativas.

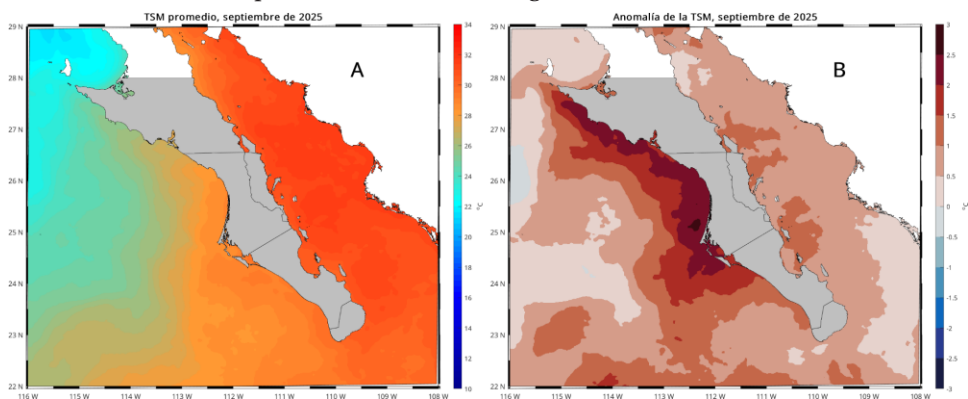


Figura 3.1. Condiciones mensuales de TSM durante el mes de septiembre de 2025. Panel A, promedio y panel B, anomalías.

Productividad Primaria (PP). Las condiciones de PP durante septiembre de 2025 se presentan en la [Figura 3.2](#). El mapa del **panel A** muestra la PP promedio registrada, cuyo rango de $6864 \text{ mg C m}^{-2} \text{ d}^{-1}$ (304 a $7168 \text{ mg C m}^{-2} \text{ d}^{-1}$), es mayor respecto a los $6213 \text{ mg C m}^{-2} \text{ d}^{-1}$ de agosto (356 a $6570 \text{ mg C m}^{-2} \text{ d}^{-1}$). El **panel B** muestra las anomalías con respecto al promedio climatológico (2002-2005), el rango de septiembre fue de $4336 \text{ mg C m}^{-2} \text{ d}^{-1}$, con valores de -867 y $3468 \text{ mg C m}^{-2} \text{ d}^{-1}$, rango ligeramente mayor a los $2996 \text{ mg C m}^{-2} \text{ d}^{-1}$ respecto a los valores de agosto de -449 y $2547 \text{ mg C m}^{-2} \text{ d}^{-1}$. En términos generales, septiembre fue un mes con un ligero aumento en los niveles de PP y de anomalías negativas en comparación de agosto; las anomalías negativas dominan toda la región del Golfo de California y toda la región costera de la costa occidental de la península de Baja California; las anomalías positivas dominaron la región oceánica en el Pacífico.

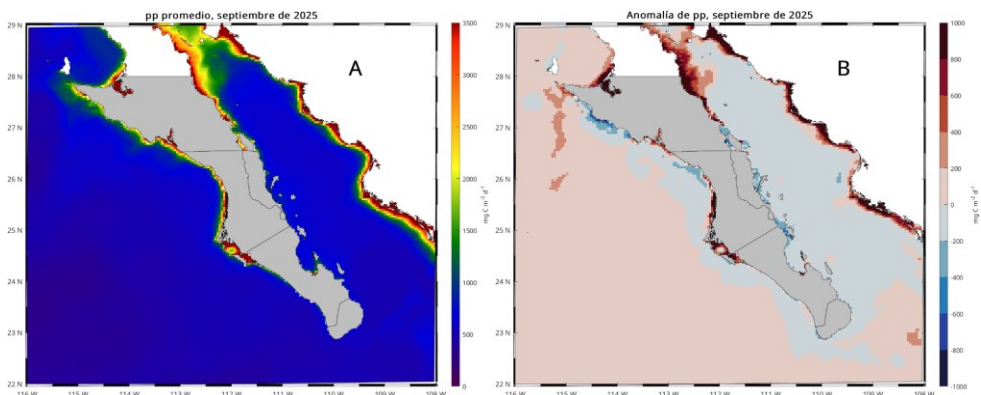


Figura 3.2: Condiciones mensuales de PP durante el mes de septiembre de 2025. Panel A, condiciones promedio y panel B, anomalías.

Altimetría (ADT, SLA y CORR). Las condiciones de altimetría durante septiembre de 2025 se presentan en la [Figura 3.3](#). El mapa del **panel A** muestra el promedio de la denominada altura dinámica (ADT), su rango fue de 0.20 m y se ubicó entre 0.61 y 0.81 m , ligeramente menor que el de agosto de 0.24 m con límites de 0.54 y 0.78 m . El **panel B** muestra las anomalías del nivel del mar (SLA) con respecto al promedio climatológico, sus valores se ubicaron entre 0.02 y 0.21 m , con un rango de 0.19 m , valores diferentes en comparación de los -0.02 y 0.25 m y rango de 0.27 m de agosto. Las corrientes se pueden observar, en los paneles A y B, ya que están superpuestas a la ADT y la SLA; su velocidad se ubicó entre 0.003 y 0.5 m s^{-1} , mismos valores del mes anterior. En la costa occidental de la península, la circulación dominante es de sur a norte, principalmente pegada a la costa, tanto dentro del golfo, como en la región oceánica, se observan estructuras tipo remolinos. En términos generales, la SLA es anómalamente positiva, prácticamente en toda la región.

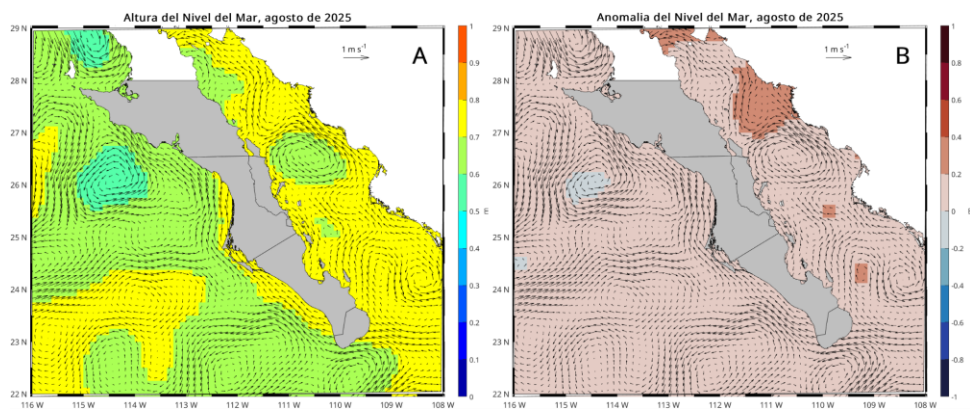


Figura 3.3: Condiciones mensuales de altimetría durante el mes de septiembre de 2025. Panel A, altura del mar (ADT) promedio y panel B, anomalías del nivel del mar (SLA), en ambos casos con el promedio mensual de las corrientes geostroficas (CORR) superpuestas en forma de flechas.

Series de tiempo

El análisis mensual de series de tiempo (2002-2025) sobre los tres sitios seleccionados, Cabo Pulmo, La Paz y San Juanico se describe a continuación:

Cabo Pulmo. Las condiciones climatológicas y de anomalías de TSM, PP y SLA a lo largo del tiempo (2002- 2025) se muestran en la [Figura 3.4](#). En septiembre de 2025 (panel A, círculo verde), la **TSM** tuvo un valor promedio de 30.7 °C, ligeramente por encima de su valor climatológico de 30.0 °C, +0.1 °C respecto a los 30.6 °C de agosto. Las anomalías (panel B), fueron negativas desde noviembre de 2024 hasta abril de 2025, mayo fue el primer mes con anomalía positiva, situación que se mantiene hasta septiembre, aunque las anomalías son apenas ligeramente por encima del promedio. Al parecer, los valores del ONI, negativos desde hace 13 meses, pero ubicados en zona neutral, no tienen un efecto en la temperatura, con valores muy cercanos a su climatología. La **PP** presentó un valor de 593 mg C m⁻² d⁻¹, por debajo de su valor climatológico de 812 mg C m⁻² d⁻¹ (panel C, círculo verde); menor en comparación con agosto, que tuvo un valor de 752 mg C m⁻² d⁻¹. Desde julio de 2024 las anomalías fueron positivas hasta mayo de 2025 (paneles C y D), especialmente los meses de diciembre a marzo, con valores muy altos. A partir de junio (cuatro meses), se han presentado anomalías negativas. Al parecer, las anomalías positivas de TSM, aunque marginales, sí están afectando las concentraciones de PP, a pesar de los valores negativos del ONI. En septiembre de 2025, las anomalías del nivel del Mar (**SLA**), registraron un valor de 0.16 m, por encima de su valor climatológico de 0.15 m, mismo valor de agosto (0.16 m), es el quinto mes consecutivo con anomalías positivas, aunque con una ligera tendencia negativa ([Figura 3.4](#), paneles E y F).

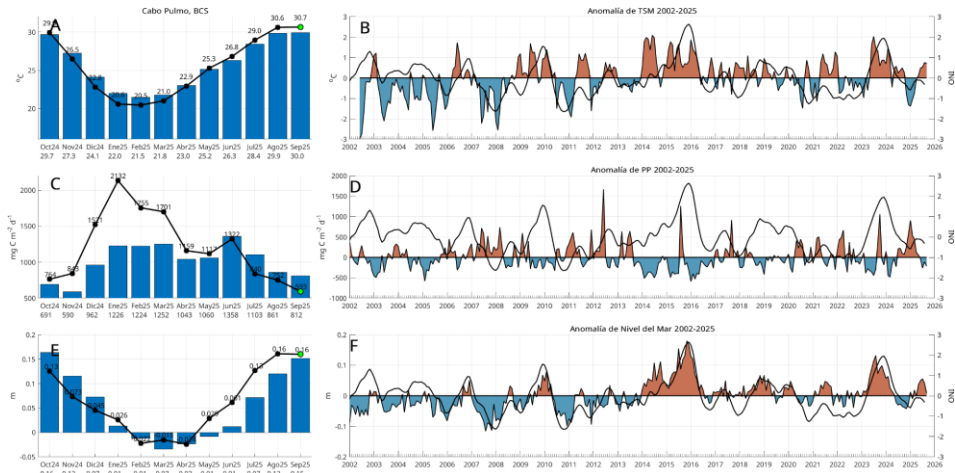


Figura 3.4: Condiciones climatológicas y de anomalías para TSM, PP y SLA a lo largo del tiempo (2002-2025) en Cabo Pulmo. Las barras en los paneles A, C y E, muestran las climatologías mensuales, las líneas negras con círculos indican los valores de los últimos 12 meses (hasta septiembre de 2025, círculo verde), los valores debajo de los meses en el eje x corresponden a los valores climatológicos. Los paneles B, D y F muestran las anomalías a lo largo del tiempo, la línea negra indica los datos del ONI (Índice Oceánico de El Niño).

La Paz. Las condiciones climatológicas y de anomalías de TSM, PP y SLA a lo largo del tiempo (2002-2025) se muestran en la [Figura 3.5](#). En septiembre de 2025 (panel A, círculo verde), la **TSM** tuvo un valor promedio de 30.3 °C, por encima de su valor climatológico de 29.3 °C, mayor respecto a los 29.3 °C de agosto. Las anomalías (panel B), se mantuvieron negativas desde julio de 2024 hasta mayo de 2025, aunque de forma marginal, con valores muy cercanos a los climatológicos, en junio de 2025 se presentó la primera anomalía positiva en más de 12 meses, hasta septiembre se continúa con esta tendencia. Al parecer, los valores del ONI, cuyo valor reportado en septiembre fue de -0.32 °C, dentro del rango de lo normal, no están afectando mayormente la temperatura. La **PP** presentó un valor de 902 mg-C m⁻² d⁻¹, menor a su valor climatológico de 1021 mg-C m⁻² d⁻¹ (panel C, círculo verde), menor que agosto, que tuvo un valor de 1290 mg-C m⁻² d⁻¹. Desde julio de 2024 hasta abril de 2025 las anomalías fueron positivas (paneles C y D), en mayo de 2025 se presentó una anomalía negativa, nuevamente desde junio de 2025 se presentaron anomalías positivas, septiembre regresó a un valor de anomalía negativa. Al parecer, el efecto de anomalías positivas en la TSM ya afectó negativamente a la PP en la región. Las anomalías del nivel del Mar (**SLA**), en junio de 2025, tuvieron el mismo valor de su climatología de 0.16 m, ([Figura 3.5](#), paneles E y F), mayor en comparación con junio (0.16 m), noveno valor consecutivo en doce meses sin anomalías negativas ([Figura 3.5](#), panel F).

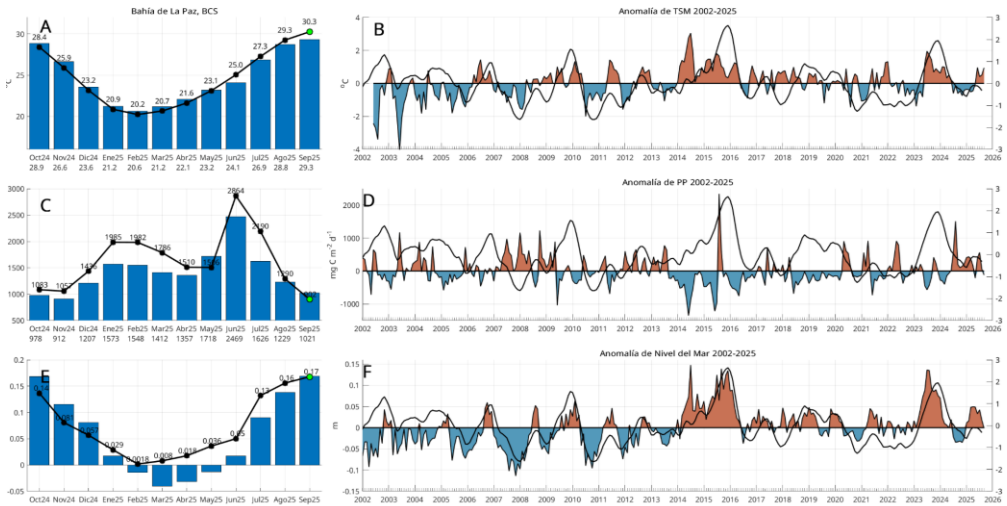


Figura 3.5: Condiciones climatológicas y de anomalías de TSM, PP y SLA a lo largo del tiempo (2002- 2025) en Bahía de La Paz. Las barras en los paneles A, C y E, muestran las climatologías mensuales, las líneas negras con círculos indican los valores de los últimos 12 meses (hasta septiembre de 2025, círculo verde), los valores debajo de los meses en el eje x corresponden a los valores climatológicos. Los paneles B, D y F muestran las anomalías a lo largo del tiempo, la línea negra indica los datos del ONI (Índice Oceánico de El Niño).

San Juanico. Las condiciones climatológicas y de anomalías de TSM, PP y SLA a lo largo del tiempo (2002- 2025) se muestran en la [Figura 3.6](#). En septiembre de 2025 ([Figura 3.6A](#), círculo verde), la **TSM** tuvo un valor promedio de 28.2 °C, por encima de su valor climatológico de 26.2 °C, mayor respecto a los 26.5 °C de agosto. Las anomalías ([Figura 3.6B](#)), se habían mantenido negativas desde abril de 2024 (14 meses), a partir de junio de 2025 y hasta septiembre se han presentado anomalías positivas. La **PP** presentó un valor de 2375 mg·C m⁻² d⁻¹, menor a su valor climatológico de 2586 mg·C m⁻² d⁻¹ ([Figura 3.6C](#), círculo verde); menor en comparación con agosto, que tuvo un valor de 3499 mg·C m⁻² d⁻¹. Desde mayo de 2024 las anomalías se habían mantenido positivas, este es el primer mes con anomalía negativa en 17 meses ([Figura 3.6D](#)), al parecer el efecto de los valores positivos de TSM tuvieron un efecto negativo en la PP. En septiembre de 2025, las anomalías del nivel del Mar (SLA), fueron positivas con un valor de 0.17 m, respecto a su valor climatológico de 0.14 m ([Figura 3.6](#), paneles E y F), mayor en comparación con agosto (0.13 m). A lo largo del tiempo, los últimos cinco meses, desde mayo, han presentado anomalías positivas, pero es difícil establecer un patrón a lo largo del año. En septiembre de 2025 se presentó el máximo valor en 12 meses.

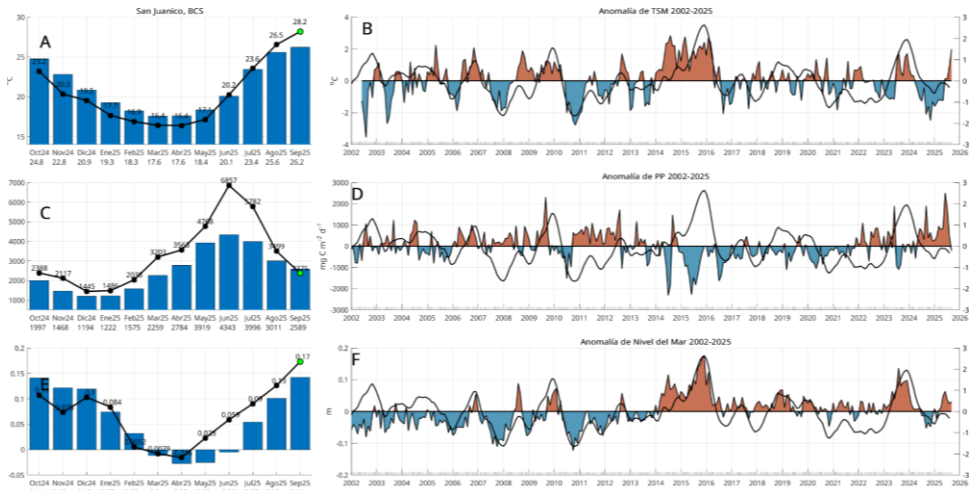


Figura 3.6: Condiciones climatológicas y de anomalías de TSM, PP y SLA a lo largo del tiempo (2002- 2025) en San Juanico. Las barras en los paneles A, C y E, muestran las climatologías mensuales, las líneas negras con círculos indican los valores de los últimos 12 meses (hasta septiembre de 2025, círculo verde), los valores debajo de los meses en el eje x corresponden a los valores climatológicos. Los paneles B, D y F muestran las anomalías a lo largo del tiempo, la línea negra indica los datos del ONI (Índice Oceánico de El Niño).

Discusión

Tanto los resultados de los mapas de distribución de TSM, PP y SLA como los análisis de series de tiempo indican que las condiciones de la región son de tendencia a condiciones ligeramente y anómalamente positivas, con temperaturas por encima de condiciones normales. Esto repercute en una disminución en los niveles de PP, con anomalías negativas en las tres regiones.

Referencias

- Behrenfeld, MJ, PG Falkowski. 1997. A consumer's guide to phytoplankton primary productivity models. *Limnology and Oceanography*. Volume 42: 1479-1491.
- Chin, T.M, J. Vazquez-Cuervo, and E.M. Armstrong. 2017. A multi-scale high-resolution analysis of global sea surface temperature, *Remote Sensing of Environment* , 200. <https://doi.org/10.1016/j.rse.2017.07.029>.

4. Paisaje Pelágico

Romeo Saldívar-Lucio
rsaldivar@cicese.edu.mx

Resumen | Este artículo describe los cambios registrados en el Paisaje Pelágico de tres localidades alrededor de Baja California Sur. El Paisaje Pelágico representa un traslado conceptual de la ecología del paisaje en tierra y el paisaje marino tradicional (ej. arrecifes de coral), con el atributo particular de capturar la complejidad y dinámica del ambiente pelágico. Para ello se clasifican diversos hábitats pelágicos considerando que el ambiente físico en el océano se compone de múltiples capas superpuestas que se reconfiguran en parches tridimensionales, modificando constantemente sus características físicas, químicas y biológicas.

Introducción

El traslado conceptual de la ecología del paisaje hacia el dominio pelágico conduce a la incorporación de los organismos planctónicos que contribuyen a la formación de parches en diferentes escalas, en coherencia con la física y la dinámica de los procesos oceanográficos (Kavanaugh *et al.*, 2016). Por lo tanto, la reconfiguración dinámica de los parches o hábitats pelágicos responde a la hidrología, la turbulencia y la respuesta primaria de los microorganismos fotosintetizadores y sus variaciones en el espacio, el tiempo y la profundidad, donde radica la diferencia fundamental entre el Paisaje Pelágico y los paisajes marinos convencionales (Kavanaugh *et al.*, 2016; Scales, 2017).

Si bien el Paisaje Pelágico tiene un respaldo conceptual y metodológico robusto, y apunta hacia una investigación creciente con múltiples aplicaciones, aún se encuentra en fase de exploración pues no se conocen los rasgos distintivos de su variación en el contexto de los cambios físicos y biológicos conocidos para las diferentes regiones marinas del planeta. De aquí que el objetivo de este trabajo es analizar los principales rasgos de variación del Paisaje Pelágico en la región. De continuar confirmándose su utilidad, la caracterización de hábitats que configuran el Paisaje Pelágico podría impulsar el desarrollo de herramientas operacionales para la descripción del estado y pronóstico de los recursos marinos a escala regional y local (e.g. Alvarez-Berastegui *et al.*, 2014; Montes *et al.*, 2020).

Área de estudio

El área de estudio corresponde a las aguas oceánicas frente a las costas del estado de BCS, comprendidas en el cuadrante -120 a -108 de longitud y 22 29 de latitud (Figura 1.1). Los círculos de colores en la Figura 1.1 indican los sitios para los cuáles se realiza la descripción de los cambios en el Paisaje Pelágico; parque nacional Cabo Pulmo, La Paz y el Golfo de Ulloa.

Metodología

Los datos de entrada para clasificar cada hábitat pelágico se derivan de campos dinámicos de datos satelitales y modelados con el objetivo de proporcionar un marco biogeográfico para describir los hábitats oceánicos dinámicos alrededor del mundo a través de una gama de 33 categorías de hábitat. El servicio CoastWatch proporciona acceso regular a compuestos mensuales y de 8 días con una resolución de 5 km: <https://coastwatch.noaa.gov/cwn/products/seascape-pelagic-habitat-classification.html>.

El archivo de datos original fue descargado en formato *.nc, con resolución temporal mensual, desde enero de 2003 hasta la actualización más reciente del producto. El archivo se reestructura como un objeto *sat* de clase 4, para posteriormente realizar la extracción y visualización de datos con el apoyo de la biblioteca *sat* (Villalobos y González-Rodríguez, 2022) en el lenguaje de programación R (R Core Team, 2025). El área recortada para cada localidad se considera como el 100%, para posteriormente calcular la cobertura relativa de los hábitats presentes mediante el conteo automatizado de píxeles por clase (Figura 4.1.1, 4.2.2, 4.3.2).

Resultados

El paisaje pelágico en Cabo Pulmo y zonas adyacentes, muestran una estacionalidad bien definida (Figura 4.1.1). De enero a agosto, la categoría H15 suele disminuir del 80 al 16 %, para volver a extenderse hasta casi el 70 % hacia diciembre. El predominio de H15 indica temperatura superficial promedio cercana a 25.35 °C, salinidad de 35.4 ups, y concentración de clorofila de 0.32 mg·m⁻³. En sentido opuesto, H3 se expande de febrero (<5 %) a agosto (60 %) y se define por una temperatura superficial cercana a los 24.12 °C, salinidad de 35.34 ups y 0.15 mg·m⁻³ de clorofila.

En el periodo enero-marzo de 2025, se observa que H15 cubre hasta 40% menos del área considerada bajo condiciones promedio, aunque se recupera hacia el mes de abril y alcanza su valor promedio cercano al 80%. (Figura 4.1.1 y Figura 4.1.2). Espacialmente se observa que la categoría más productiva H21, se mantiene replegada a la costa, cubriendo cerca del 15%. Si bien dicho valor es bajo, se presenta ligeramente expandido respecto a las condiciones promedio cuando suele ser menor al 5% durante el mismo mes. En sentido opuesto, el parche oceánico de H3 se mantuvo ligeramente expandido en un 20% en febrero y marzo, pero se contrajo en abril hasta prácticamente desaparecer. Finalmente, H11 se observa disperso en áreas oceánicas pero con coberturas promedio (<10%; Figura 4.1.2).

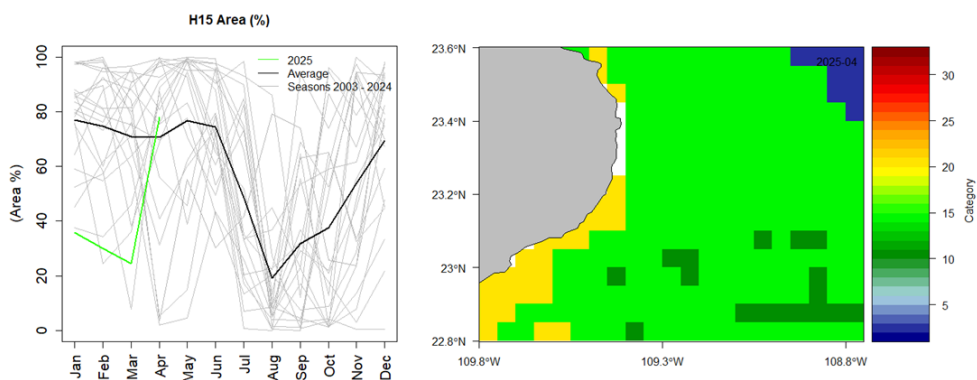


Figura 4.1: Paisaje Pelágico frente a Cabo Pulmo. 4.1.1) Panel izquierdo: Comportamiento estacional del hábitat dominante H15 (2003-2025). 4.1.2) Panel derecho: Distribución espacial promedio de los hábitats pelágicos durante abril de 2025.

El hábitat pelágico H15 es dominante en la Bahía de La Paz, presentando dos expansiones en el año, la primera en abril-mayo y la segunda en octubre-diciembre cuando puede ocupar hasta más del 90 % del área de la bahía y la zona adyacente (Figura 4.2.1). La categoría H15 se conforma en torno a condiciones de temperatura superficial de 25.35 °C, salinidad de 35.4 ups, y concentración de clorofila de 0.32 mg·m⁻³.

Entre enero y marzo, H15 redujo en cerca del 15% su área promedio, al parecer cediendo espacio a H21 que se extendió por encima de sus valores climatológicos en una proporción similar, para finalmente reducir su cobertura entre marzo y abril hasta sus valores promedio (10%; Figura 4.2.1). En el primer trimestre, la presencia de H21 se restringió a la franja costera, indicando el predominio de aguas más frías y más productivas en comparación con las aguas oceánicas circundantes Figura 4.2.2).

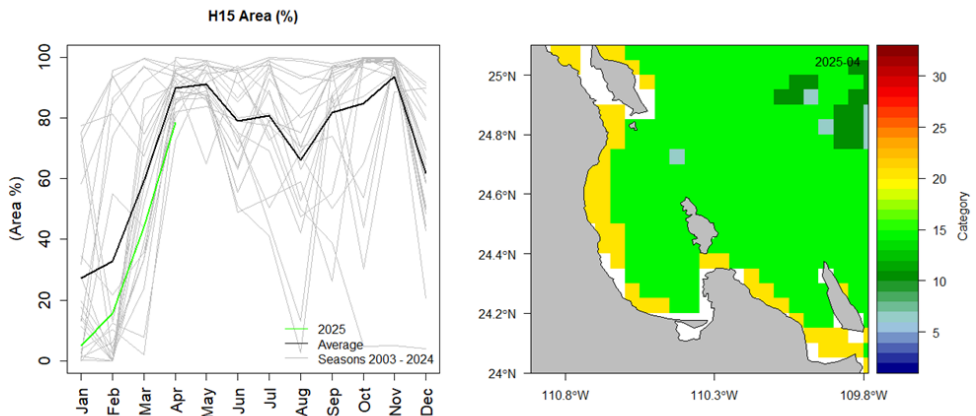


Figura 4.2: Paisaje Pelágico en la Bahía de La Paz. 4.2.1) Panel izquierdo: Comportamiento estacional del hábitat H3 (2003-2025). 4.2.2) Panel derecho: Distribución espacial promedio de los hábitats pelágicos en abril de 2025.

El paisaje pelágico del Golfo de Ulloa se caracteriza por su diversidad de hábitats a lo largo del año. La categoría H17, ocupa la mayor área entre enero y abril (35-40%); se define por una temperatura superficial de 20.89 °C, salinidad de 33.59 ups y una concentración de clorofila de 0.17 mg·m⁻³. Por su parte, H21 crece gradualmente de menos del 10% hasta el 30-40% en junio-julio. En condiciones promedio, H15 se expande del 16% en mayo-junio, al 40% en septiembre-octubre (Figura 4.3.1).

Las variaciones históricas de H17 indican que en el pasado ya se han presentado otros colapsos del área de este hábitat pelágico, un tanto similares en porcentaje a los de 2006-2007, 2014-2015 y 2015-2016, cuando incluso llegó a desaparecer brevemente (Figura 4.3.2). En la porción más oceánica, la reducción de H17, ha sido acompañada por la expansión de otras categorías asociadas a aguas más frías, de mayor salinidad y menor concentración de clorofila (~0.28-0.84 mg·m⁻³).

Desde diciembre de 2024 se observó en el Golfo de Ulloa un gradiente de aguas más frías y más productivas de la costa hacia mar adentro, mismo que se ha mantenido hasta abril 2025, cubriendo un área importante de hasta el 40% del total (Figura 4.3.2). Las condiciones más productivas, representadas por H21, cubren aproximadamente 10% extra por encima del promedio, mientras que, en aguas oceánicas, el resto de hábitats pelágicos se observa sin anomalías relevantes (Figura 4.3.2).

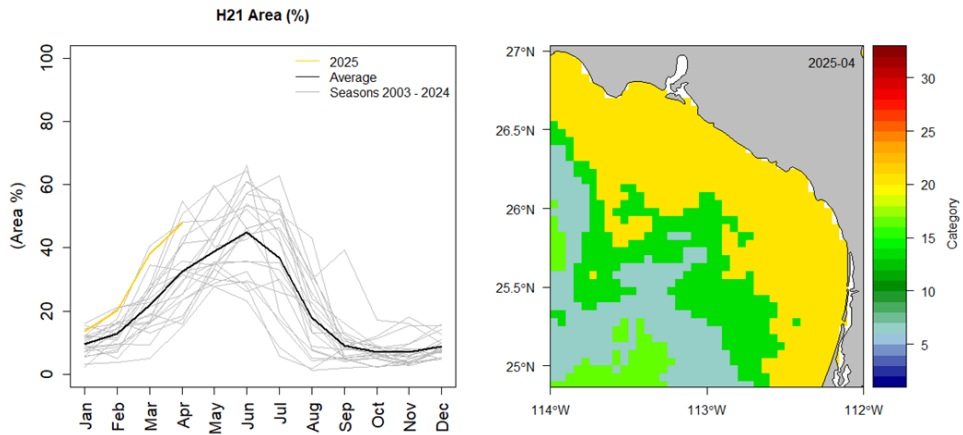


Figura 4.3: Paisaje Pelágico en el Golfo de Ulloa. 4.3.1) Panel izquierdo: Comportamiento estacional (2003-2025) del hábitat H21 en el Golfo de Ulloa. 4.3.2) Panel derecho: Distribución espacial promedio de los hábitats pelágicos durante abril de 2025.

Referencias

- Alvarez-Berastegui, D., Ciannelli, L., Aparicio-Gonzalez, A., Reglero, P., Hidalgo, M., Lopez-Jurado, J. L., Tintoré, J., et al. 2014. Spatial scale, means and gradients of hydrographic variables define pelagic seascapes of bluefin and bullet tuna spawning distribution. *PloS one*, 9: e109338.
- Montes, E., Djurhuus, A., Muller-Karger, F. E., Otis, D., Kelble, C. R., & Kavanaugh, M. T. 2020. Dynamic satellite seascapes as a biogeographic framework for understanding phytoplankton assemblages in the Florida Keys National Marine Sanctuary, United States. *Frontiers in Marine Science*, 7, 575.
- Kavanaugh, M. T., Oliver, M. J., Chavez, F. P., Letelier, R. M., Muller-Karger, F. E., & Doney, S. C. (2016). Seascapes as a new vernacular for pelagic ocean monitoring, management and conservation. *ICES Journal of Marine Science*, 73(7), 1839-1850.
- NOAA CoastWatch (2025). Pelagic Seascape Habitat Classification <https://coastwatch.noaa.gov/cwn/products/seascape-pelagic-habitat-classification.html>.
- R Core Team (2025). R: A Language and Environment for Statistical Computing_. R Foundation for Statistical Computing, Vienna, Austria. <https://www.R-project.org/>.
- Scales, K. L., Alvarez-Berastegui, D., Embling, C., & Ingram, S. (2017). Pelagic seascapes.

Seascape Ecology.

Wolter, K., and M. S. Timlin, 1998: Measuring the strength of ENSO events - how does 1997/98 rank? *Weather*, 53, 315-324. DOI: 10.1002/j.1477-8696.1998.tb06408.x.

Villalobos H, González-Rodríguez E (2022). *satin*: Visualisation and Analysis of Ocean Data Derived from Satellites. R package version 1.2.0, <<https://github.com/hvillalo/satin>>.

5. Monitoreo satelital de florecimientos algales

Cotsikayala Pacheco-Ramírez
cotsi.pacheco@gmail.com

Resumen | En esta sección, pretendo dar a conocer parte de mi tesis doctoral sobre la teledetección de grupos funcionales fitoplanctónicos expresados en la clorofila del mar. Diatomeas y dinoflagelados son grupos que integran algunas especies con el potencial de formar florecimientos algales nocivos y están en vigilancia continua. En septiembre de 2025 el promedio mensual de diatomeas, dinoflagelados y cocolitofóridos ha disminuido respecto al promedio climatológico de agosto en Cabo Pulmo, bahía de La Paz y San Juanico.

Introducción

Global Ocean Colour es una de las más importantes series temporales a largo plazo del color del mar, desarrollada a partir de datos de multisensores del Servicio de Monitoreo del Medio Marino de COPERNICUS (CMEMS). Los datos de Grupos funcionales fitoplanctónicos (PFT en inglés), incluyendo diatomeas y dinoflagelados, se derivan principalmente del algoritmo PHYSAT (Alvain *et al.* 2005, 2008) y sus actualizaciones para CMEMS, con resolución temporal diaria y espacial de 4 km, (IOCCG 2014). Los cuales clasifican las comunidades fitoplancton con base a sus firmas ópticas específicas observadas por sensores multiespectrales como MERIS y OLCI. Este producto además de proporcionar estimaciones precisas de la presencia y distribución de diatomeas, dinoflagelados y haptofitas, permite obtener información detallada sobre su abundancia en el océano.

Diatomeas y dinoflagelados son grupos fitoplanctónicos que integran especies capaces de generar florecimientos algales nocivos (FAN) y pueden causar daño físico a diversas especies locales (Nuñez-Vázquez *et al.* 2016). *Pseudo-nitzschia* spp. es una diatomea que produce neurotoxinas (ácido domoico) y *Gymnodinium catenatum* es un dinoflagelado que produce toxinas paralizantes; especies en vigilancia permanente (siat-cicese.mx/especies-nocivas). Por otro lado, las haptofitas no producen afectaciones, pero se relacionan con altas concentraciones de carbón inorgánico particulado, porque están formados de placas externas de calcita (cocolitos), nombrados cocolitofóridos, la especie más abundante es *Emiliania huxleyi*, puede proliferar fácilmente en aguas costeras enriquecidas de nutrientes (Weeks *et al.* 2004).

Baja California Sur (BCS) es uno de los estados más afectados por problemas de salud pública relacionados por florecimientos algales tóxicos, de acuerdo con la Base de Datos de Eventos de Algas Nocivas (<http://haedat.iode.org/>). La bahía de La Paz es la región más estudiada en

la porción sur de BCS debido a su importancia económica. Esto es especialmente preocupante debido a la presencia constante de toxinas en moluscos comercializados en la entidad, lo que resalta la necesidad de un monitoreo continuo para garantizar la seguridad en el consumo de mariscos en la región (Leyva-Valencia *et al.* 2021). En este sentido, las capacidades sinópticas que ofrecen los sensores remotos satelitales contribuirán a mejorar las labores de monitoreo.

Área de estudio

El área de estudio corresponde a las aguas frente a las costas del estado de Baja California Sur (BCS), en un principio para tres regiones del estado: Cabo Pulmo, Bahía de La Paz y San Juanico ([Figura 1.1](#)).

Metodología

Entre julio de 2002 y septiembre de 2025 se obtuvieron datos del producto Copernicus-GlobColour, el cual cuenta con resolución diaria. A partir de estos registros diarios, se calcularon promedios mensuales de la concentración de diatomeas, los dinoflagelados y coccolitofóridos para tres regiones de BCS. Datos disponibles en: https://data.marine.copernicus.eu/product/OCEANCOLOUR_GLO_BGC_L3_MY_009_103/. La concentración de los grupos fitoplanctónicos se muestra como una representación visual de la información estimada por el modelo PHYSAT de COPERNICUS.

El procesamiento satelital, incluyendo la gestión de datos se realizó con la herramienta Copernicus Marine versión 2.0, porque acelera el procesamiento satelital de los productos COPERNICUS. Es utilizada para el análisis de datos e integrarlos fácil y eficientemente, con bibliotecas para el aprendizaje automatizado y generar modelos. Todos los procesos se llevaron a cabo desde el entorno Júpiter en lenguaje de programación Python.

Resultados

Grupos fitoplanctónicos

La [Figura 5.1](#), [Figura 5.2](#) y [Figura 5.3](#) muestran los promedios mensuales de dinoflagelados (parte superior), diatomeas (centro) y coccolitofóridos (parte inferior) para Cabo Pulmo, la bahía de La Paz y San Juanico respectivamente. En los tres sitios, las concentraciones de estos grupos fitoplanctónicos fueron inferiores al promedio climatológico correspondiente al mes de septiembre. Las barras azules representan las climatologías mensuales de enero a diciembre para el periodo 2002-2024, mientras que los puntos negros indican los promedios mensuales de enero a septiembre de 2025.

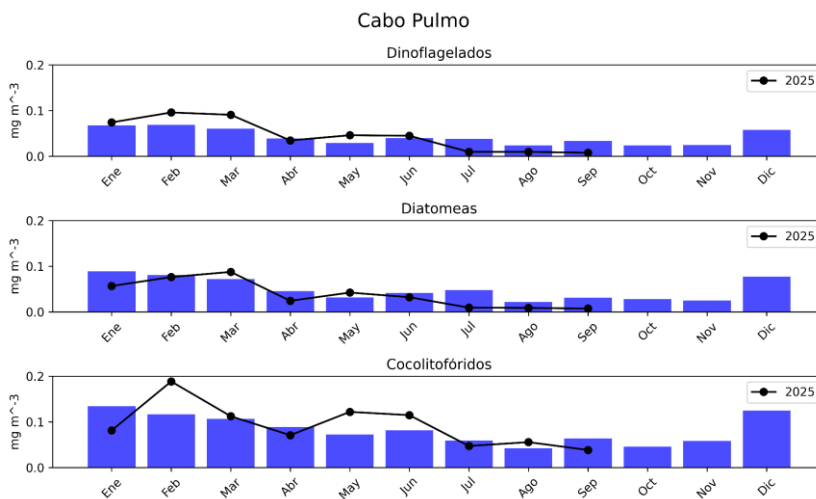


Figura 5.1: Estas climatologías representan la concentración de grupos fitoplanctónicos, expresada en CLO en el agua de mar en Cabo Pulmo durante septiembre de 2025.

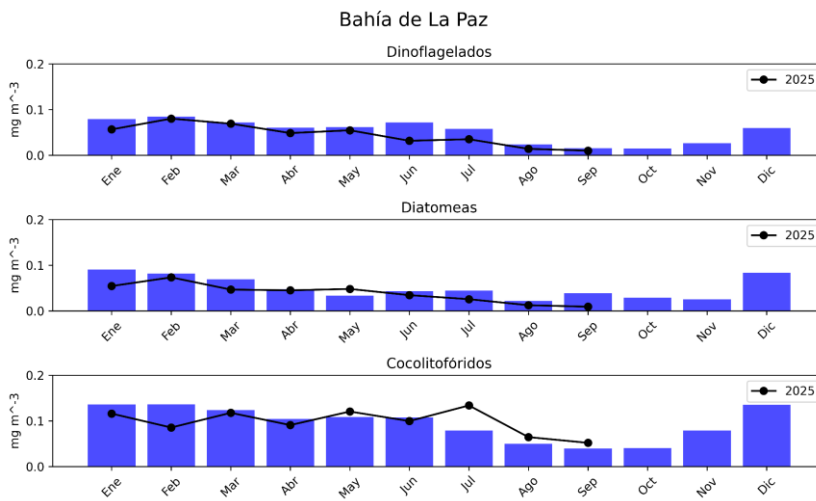


Figura 5.2: Estas climatologías representan la concentración de grupos fitoplanctónicos, expresada en CLO en el agua de mar en la bahía de La Paz durante septiembre de 2025.

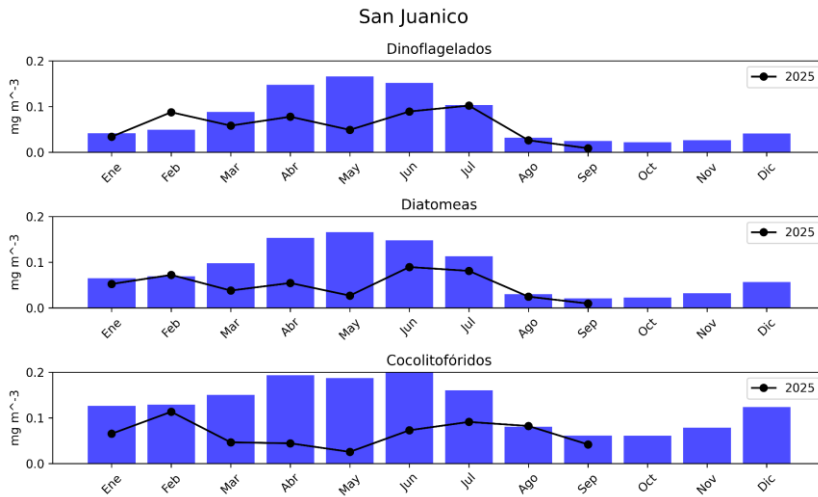


Figura 5.3: Estas climatologías representan la concentración de grupos fitoplanctónicos, expresada en CLO en el agua de mar en San Juanico durante septiembre de 2025.

Eventos locales

1. La [Figura 5.4](#) muestra las descargas fluviales observadas frente al Estero San José, en San José del Cabo, tras los eventos de lluvia registrados en septiembre de 2025. Estas descargas se evidencian por el cambio en la coloración del agua costera, visible en la imagen Sentinel-2 en composición RGB.



Figura 5.4: Imagen RGB del área frente al Estero San José, en San José del Cabo, obtenida por Sentinel-2 el 7 de septiembre de 2025 (resolución espacial: 10 m), que muestra las descargas fluviales posteriores a eventos de lluvia.

2. La [Figura 5.5](#) muestra los parches de coloración marrón-rojiza y la elevada sedimentación

observados frente a la playa Los Cerritos, en Todos Santos, entre el 12 y el 17 de septiembre de 2025. Estos rasgos se asocian con descargas pluviales ocurridas en los días posteriores a las lluvias registradas en la región.

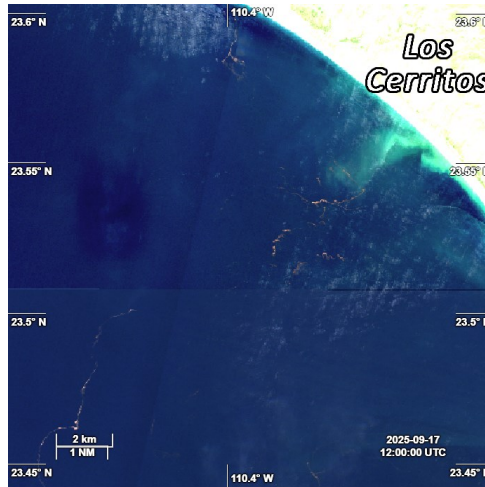


Figura 5.5: Imagen RGB de la zona costera frente a Los Cerritos, en Todos Santos, obtenida por Sentinel-2 el 17 de septiembre de 2025 (resolución espacial: 10 m), donde se observan parches de coloración marrón-rojiza y sedimentación asociada a descargas fluviales.

3. La **Figura 5.6** muestra los parches de coloración observados en distintos puntos de la bahía de La Paz. En la zona sur se identificaron parches marrón-rojizos frente a El Quelele y dentro de la Ensenada (**Figura 5.6** izquierda), mientras que en la zona norte, en la Boca Grande, se observó un parche de gran extensión y tonalidad verde-amarillenta frente a la isla San Francisco (**Figura 5.7** derecha).



Figura 5.6: En el panel izquierdo se observa la zona de El Mogote, con detalle de Las Dunas de El Mogote y, en el recuadro superior, la Ensenada. El panel derecho muestra la zona norte de la bahía, próxima a la Isla San Francisco. Imágenes RGB de Sentinel-2 correspondientes al 17 de septiembre de 2025 (resolución espacial: 10 m).

Referencia

- IOCCG. 2014. Phytoplankton Functional Types from Space. Pp: 100-120 In: Sathyendranath, S. (ed.), Reports of the International Ocean-Colour Coordinating Group, No. 15, IOCCG, Dartmouth, Canada.
- Núñez-Vázquez, E.J., Band-Schmidt, C.J., Hernández-Sandoval, F.E., Bustillos-Guzmán, J.J., López-Cortés, D.J., Cordero-Tapia, A., Heredia-Tapia, A., García-Mendoza, E., Peña-Manjarréz, J.L., M.C. Ruíz de la Torre & Medina-Elizalde, J. 2016. Impactos de los FAN en la salud pública y animal (silvestres y de cultivo) en el Golfo de California. Pp: 197-211 En: Florecimientos Algales Nocivos en México. García-Mendoza, E., Quijano-Sandoval, M., C. Parada & Torres R. 2018. CICESE. 438 p.
- Leyva-Valencia, I., J.E. Hernández-Castro, C.J. Band-Schmidt, A.D. Turner, A. O'Neill, E. Núñez-Vázquez, D.J. López-Cortés, J.J. Bustillos-Guzmán y F.E., Hernández-Sandoval. 2021. Lipophilic toxins in wild bivalves from the southern Gulf of California, Mexico. *Marine Drugs* 19 (2): 1-19.
- Weeks, S.J., G.C. Pitcher & S. Bernard. 2004. Satellite Monitoring of the Evolution of a Coccolithophorid Bloom in the Southern Benguela Upwelling System. *Oceanography* 17(1): 83-89.

6. Viento (VTO) in situ

Jorge Cortés Ramos
jorgecr@cicese.mx

Resumen | En esta sección se incluyen datos in-situ de viento colectados a partir de estaciones meteorológicas ubicadas en la zona costera de Cabo Pulmo, La Paz y San Juanico. Estas estaciones registran cada 10 minutos las principales variables meteorológicas y los transmiten a las centrales de recepción del Servicio Meteorológico Nacional. Se mostrarán los patrones de viento para cada mes en cada sitio con base en la climatología mensual y las anomalías correspondientes al mes de interés. Para hacer más evidentes los cambios atípicos y destacar los fenómenos asociados, se calcularon los gráficos de cada distribución de los vientos, correspondientes a cada mes, comparados con el mismo mes en los años previos disponibles. Se enfatiza la disponibilidad, acceso y completitud de los datos transmitidos al SMN que en ocasiones imposibilitan este análisis.

Introducción

Las regiones costeras de México experimentan fenómenos de viento significativos que impactan la productividad biológica y el clima. Particularmente, en Baja California Sur, los patrones estacionales de viento crean surgencias costeras durante la primavera y el verano, trayendo aguas ricas en nutrientes a la superficie y mejorando la productividad (Valdez y Díaz, 2018). Otros procesos similares ocurren en la Bahía de Concepción, Chile, fertilizando los sistemas costeros y generando áreas de alta producción (Ahumada, 1989). En la Bahía de La Paz, la red de monitoreo establecida en la zona reveló vientos predominantes del noroeste en invierno (5-10 m/s) y del sureste en verano (4-6 m/s), influyendo en la productividad biológica (Herrera-Cervantes *et al.*, 2017). Estos patrones de vientos costeros, incluidas las brisas marinas, juegan un papel crucial en el bioclima de las áreas costeras de México, afectando la ventilación natural y el confort en los edificios (Morillón-Gálvez *et al.*, 2020). Comprender los fenómenos promovidos por el viento es esencial para la gestión costera sustentable, la prevención de riesgos y el desarrollo de energía renovable en las zonas costeras de México.

Área de estudio

El área de estudio corresponde a las aguas oceánicas frente a las costas del estado de BCS (Figura 1.1). Los círculos de colores en la Figura 1.1 indican los sitios de interés en donde se hicieron los análisis de series de tiempo de la dirección e intensidad del viento, de sur a norte, parque nacional Cabo Pulmo, La Paz y San Juanico.

Metodología

Los datos de viento se obtienen de la red de Estaciones Meteorológicas Automáticas (EMAs) del servicio meteorológico nacional (SMN). Su registro es cada 10 minutos y la forma de almacenamiento es en centrales de observación con comunicación satelital, internet o vía radio (véase: <https://smn.conagua.gob.mx/es/observando-el-tiempo/estaciones-meteorologicas-automaticas-ema-s>). Los datos se pre-procesan mediante código Python para identificar los valores espurios contenidos en la serie de tiempo y los vacíos de información. Estos huecos se dejan en blanco para evitar errores sistemáticos en su llenado dejando periodos de tiempo con cero observaciones. Existen algunos periodos de tiempo donde las observaciones nulas son mayores a un año. Estos periodos los atribuimos a daños en la estación, cambios o fallos en la telemetría.

Con los datos de velocidad y dirección del viento sostenido medido en las EMAs, se calcularon las normales climatológicas de la dirección e intensidad del viento mediante el método gráfico de la rosa de los vientos. Con este método podemos observar alguna distribución de valores atípicos del viento (magnitud y dirección) sin la necesidad de realizar algún filtrado para remover la variabilidad de alta frecuencia. Con un análisis de cajas (*boxplots*) se despliegan los valores anómalos (*outliers*) correspondientes a la intensidad del viento sostenido en cada mes. Con este análisis de cajas se pueden resaltar algunos fenómenos meteorológicos que promueven el aumento atípico en la intensidad de los vientos, tales como los ciclones tropicales.

VTO in situ en Cabo Pulmo, BCS

Durante el mes de septiembre de 2025 se puede observar que el patrón característico de los vientos en la región de Cabo Pulmo, BCS, no cambió radicalmente de acuerdo con la climatología dada en la región (2014-2024) (Figura 6.1). Sin embargo, se observa que los vientos provenientes del Sur-Sureste se reducen en magnitud, así como la dominancia de los vientos provenientes del Norte y Noroeste. Los cambios en la intensidad de los vientos provenientes del Sur y Sureste puede deberse a que durante el mes de septiembre de 2025 no hubo ciclones tropicales que transitaran sobre el sur de la Península de Baja California, tal y como se apunta a continuación.

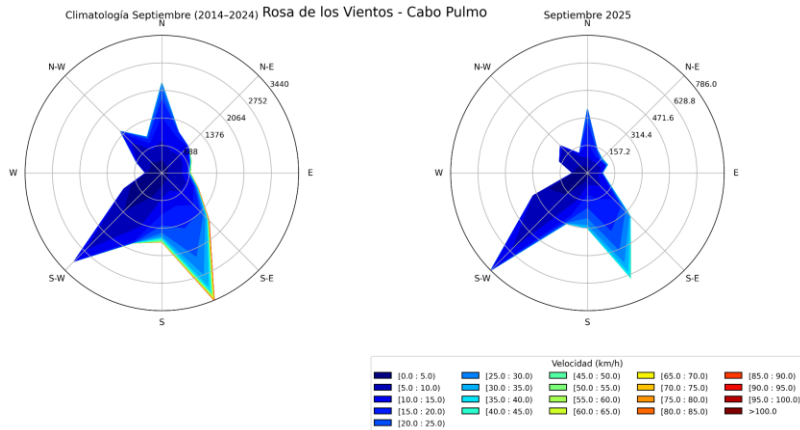


Figura 6.1: Climatología vs. observaciones de la dirección e intensidad de los vientos en la estación Cabo Pulmo durante el mes de septiembre de 2025.

La intensidad del viento *in situ* registrada durante el mes de septiembre de 2025, en Cabo Pulmo, muestra una distribución de intensidades similar a la del año anterior (2024) [Figura 6.2](#). Se puede observar que los vientos atípicos superiores a los 60 km/h fueron nulos en comparación con los años atípicos de 2014 (Odile), 2016 (Newton), y 2017 (Lidia y Pilar) donde ciclones tropicales cruzaron la península o pasaron cerca de la zona de Cabo Pulmo, promoviendo los fuertes vientos sostenidos con velocidades superiores a los 80 km/h. Los rangos intercuartiles son muy similares a los documentados desde 2023 (ver bigotes del boxplot, [Figura 6.2](#)). El valor mediano de la rapidez del viento en este sitio permanece estable de acuerdo con años previos (~10 km/h) ([Figura 6.2](#)).

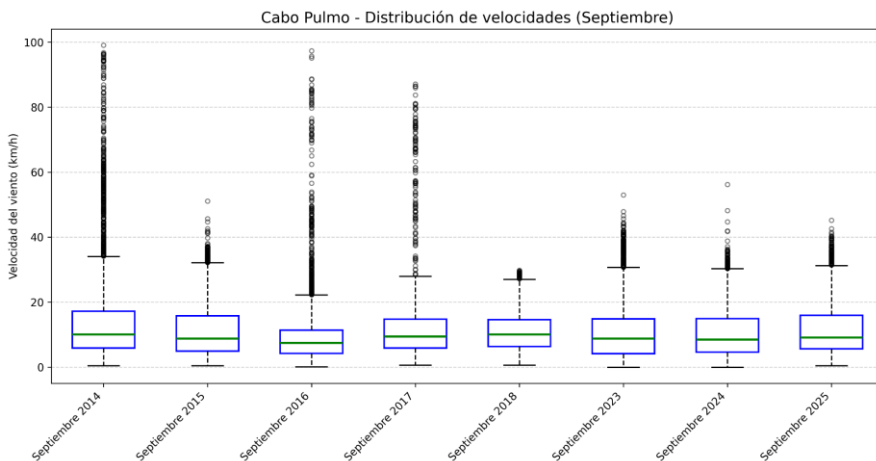


Figura 6.2: Análisis de cajas de la intensidad de los vientos en la estación Cabo Pulmo durante el mes de septiembre de 2025. Los valores de viento atípico están dados en el gráfico de cajas por los outliers (círculos en negro).

VTO *in situ* en la ciudad de La Paz, BCS

Se observa que durante el mes de septiembre de 2025 en el patrón característico de los vientos, dentro de la ciudad de La Paz, se acentúan más los vientos provenientes del Noroeste y del Sur-Sureste, lo cual marca una ligera diferencia con el patrón de vientos dado por la climatología (2016-2024) [Figura 6.3](#). En cuanto a la intensidad de los vientos, vista desde este gráfico, no se aprecian vientos intensos que rebasen los 20 km/h.

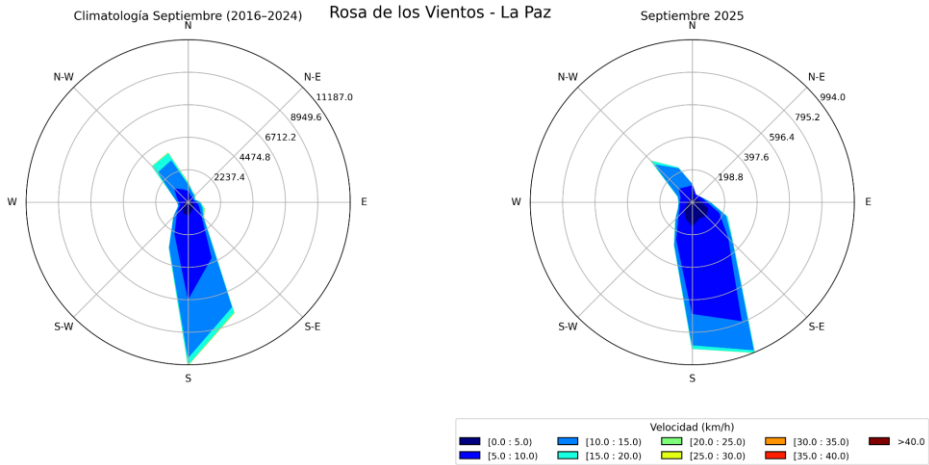


Figura 6.3: Climatología vs. observaciones de la dirección e intensidad de los vientos en la estación ESIME de La Paz durante septiembre de 2025.

La intensidad del viento registrada *in situ* en este punto de la ciudad de La Paz durante el mes de septiembre de 2025 sólo muestra algunos valores atípicos que no superan a los ocurridos durante el mismo mes en 2022, 2019 y 2017, donde los vientos atípicos rebasaron los 25 km/h ([Figura 6.4](#), outliers). Estos valores pueden estar relacionados con la temporada de ciclones tropicales ocurrida en aquellos años; Orlene y Kay en 2022, Lorena en 2019 y Lidia y Pilar en 2017. En términos del valor mediano, la intensidad del viento en este sitio disminuyó en comparación con los años previos en los cuales el valor mediano de la distribución ronda los 10 km/h ([Figura 6.4](#)).

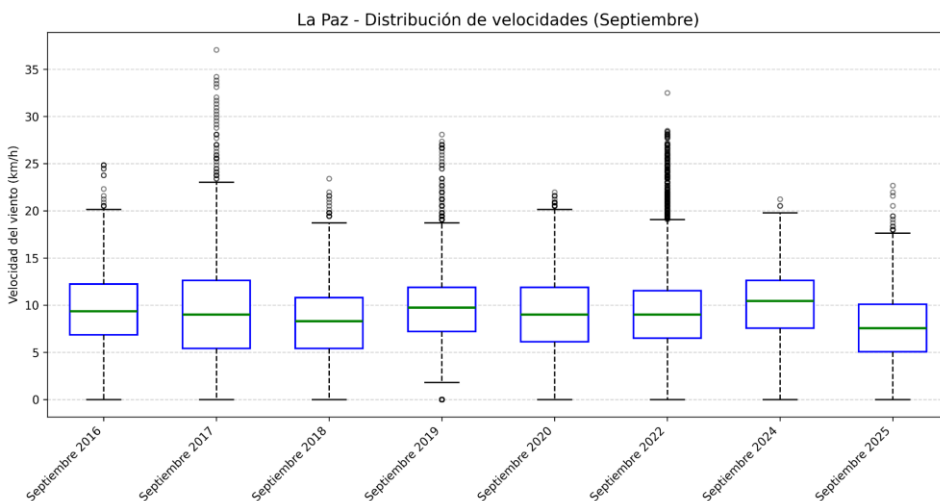


Figura 6.4: Análisis de cajas de la intensidad de los vientos en la ciudad de La Paz, BCS, durante el mes de septiembre de 2025. Los valores de viento atípico u outliers se muestran con círculos en negro en la figura.

Referencia

- Ahumada, R. (1989). Producción y destino de la Biomasa fitoplanctónica en un sistema de bahías en Chile Central: una hipótesis. *Biología Pesquera*, (18), 53-66.
- Herrera-Cervantes, H., Beier, E., & Balart, E. (2017). Red de Monitoreo Ambiental para el estudio de la variabilidad Océano-Atmósfera en la Bahía de La Paz, BCS, México. *Recursos Naturales y Sociedad*, 2017. Vol. 3 (2): 32-44. Doi: <https://doi.org/10.18846/renaysoc.2017.03.03.02.0003>
- Morillón Gálvez, D., Silva Casarín, R., Rosas Flores, J. A., Felix Delgado, A. , García Kerdan, I. (2020). Impacto de la brisa marina y el viento en el Bioclima de México. *CEMIE-Océano*, Universidad Autónoma de Campeche. 167 p.
- Valdez, M.M., & Díaz, G.P. (2018). Estudio del potencial pesquero y acuícola de Baja California Sur. *Geography*.

7. Condiciones meteorológicas en la Bahía de la Paz

Hugo Herrera Cervantes
hherrera@cicese.mx

Resumen | La Bahía de La Paz (BLPZ), es una región impactada por diferentes eventos meteorológicos e hidrometeorológicos severos, incluyendo frentes fríos en invierno, periodos prolongados de sequía y el monzón mexicano asociado al impacto de tormentas tropicales en verano. CICESE-UALP, implementó en 2015 un programa de monitoreo de variables ambientales en la BLPZ bajo el Proyecto Interno 691-109 “*Laboratorio Ambiental para el estudio de la variabilidad Océano-Atmósfera en la Bahía de La Paz, B.C.S.*”. Dicho monitoreo se basa en el registro de Estaciones Meteorológicas Autónomas (EMAs) y sensores marinos cuya información se publica en la página: <https://ulp.cicese.mx/condiciones-ambientales-observadas-en-la-Bahia-de-la-paz/>. Durante el período analizado (agosto-septiembre, 2025), se registraron valores máximos de Temperatura del aire (T_{air}) de 39.4° C, con un valor promedio de 30.7° y mínimos de 24.8° C. Los valores de Hum. Rel., mostraron el efecto de las precipitaciones observadas en el período de análisis, con valores máximos (93 %) durante los días 02 al 05 de septiembre, asociada con un periodo de rachas fuertes de viento del noroeste. Las rachas de viento máximas de $>12 \text{ m s}^{-1}$ (01-05 de septiembre) se asocian principalmente a canales de baja presión y circulación ciclónica asociadas al monzón mexicano de verano (<https://smn.conagua.gob.mx/>).

Introducción

Para este boletín Oceanográfico se utilizan los datos sinópticos correspondientes al verano de 2025 (agosto-septiembre), obtenidos de la Estación Meteorológica Autónoma (EMA), ubicada al sur de la Bahía de La Paz (BLPZ). Esta sección analiza la evolución de las variables atmosféricas (Temperatura del aire, Humedad relativa, velocidad, rachas y dirección del viento y su relación con eventos climatológicos del período analizado (<https://smn.conagua.gob.mx/>), principalmente durante el verano con el paso de ciclones tropicales. Durante el período analizado se observaron eventos nubosos asociados con trayectorias de tormentas tropicales cerca de la punta de la península de Baja California, estas junto con canales de baja presión, generaron inestabilidades atmosféricas que se desplazan hacia Baja California Sur.

Área de estudio

La BLPZ se localiza en el suroeste del Golfo de California entre las coordenadas 24° a 25° Norte y de 110 °-111° Oeste. La bahía es afectada por el paso de frentes fríos en invierno (vientos fuertes a moderados del Noroeste) y del sur y sureste durante la primavera y el verano (asociados al monzón mexicano), con precipitaciones de ligeras a fuertes asociadas al

paso de ciclones tropicales durante el verano (Turrent y Zaitzev, 2014). La bahía presenta un importante intercambio de agua con el Golfo de California a través de la boca grande en el norte y el canal de San Lorenzo al sur (Obeso-Nieblas *et al.*, 2004), generando los patrones de circulación durante un ciclo anual. Dentro de la BLPZ se localiza el Parque Nacional Archipiélago de la Isla Espíritu Santo, perteneciente a las reservas de la biósfera de la UNESCO designada como Área Marina Prioritaria (SEMARNAT, 2014).

Metodología

Los datos crudos asociados a las variables analizadas (Temp. aire, Hum relativa, dirección, velocidad y rachas de viento) registrados cada 2 horas por la EMA, se almacenan en archivos los cuales sufren un preprocesado para la detección de datos erróneos, huecos en las series, y conversión de direcciones del viento a valores en radianes, posteriormente los datos se suavizan utilizando un promedio corrido (de 24 horas = 12 datos) para su graficado en forma de series de tiempo. Se calcula su estadística básica. Los datos de viento se grafican en forma de Rosa de los vientos, tanto la velocidad como la dirección (Rosa de Vectores). Se incluyen gráficos y valores mínimos, promedio y máximos de cada variable, y la máxima y mínima varianza de los vectores del viento. En algunas ocasiones incluimos el mapa sinóptico utilizado por el servicio Meteorológico Nacional (SMN) asociado a la región noroeste de México para interpretar los diferentes fenómenos que inciden sobre el clima de la BLPZ durante el período analizado, así como imágenes del satélite Aqua MODIS de Temperatura Superficial y Chl-a superficial (Environmental Research Division's Data Acces Programm (ERDDAP) de la NOAA).

Resultados

La [Figura 7.1](#) muestra las series de tiempo cubriendo el período agosto y septiembre. La Temperatura del aire (Taire) muestra valores máximos del orden de $\sim 40^{\circ}\text{C}$, con un valor promedio de $\sim 31^{\circ}\text{C}$ y temperaturas mínimas de 24.8°C durante septiembre, se muestran valores altos de Taire ($>39^{\circ}\text{C}$). En (b) se observan los valores de Hum. Rel., con un comportamiento inverso al de la Taire con valores máximos, promedio y mínimos, de 93, 68 and 20% respectivamente, mostrando periodos inestabilidad de la humedad durante inicios de septiembre (01-05 de septiembre), asociado con eventos de precipitación en el sur de la península de Baja California. La velocidad y rachas de viento (c, d) mostró durante septiembre episodios prolongados de 3 a 5 días (24-27 de septiembre de rachas de viento del noroeste y suroeste (10 a 12 m s^{-1}) asociadas con las trayectorias de tormentas tropicales cercanas a la punta de la península de Baja California.

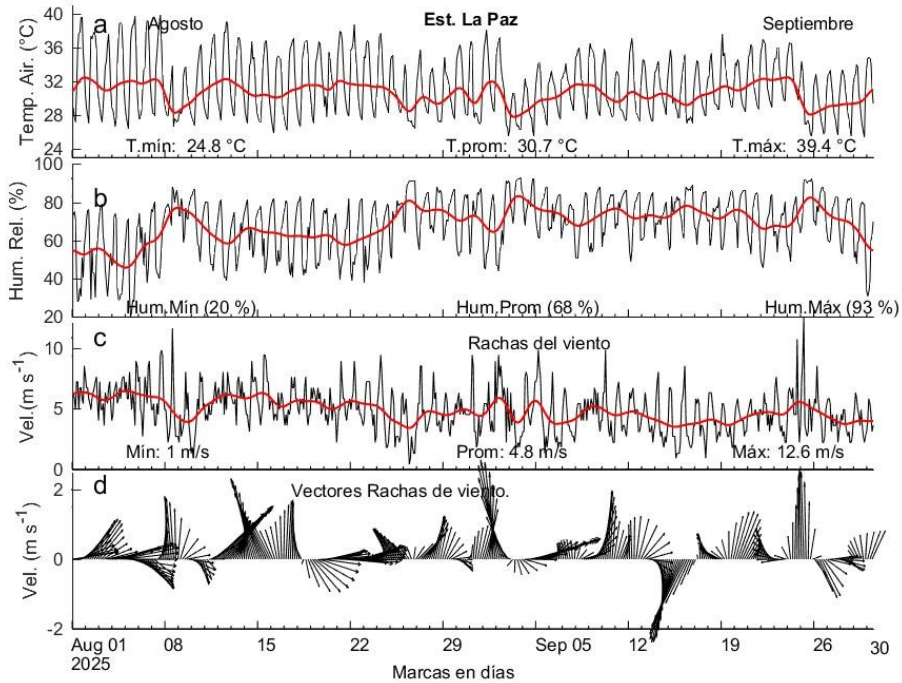


Figura 7.1: Series de tiempo de variables atmosféricas registradas en la Estación La Paz, desde el 01 de agosto al 30 de septiembre: (a) Temperatura del aire máximas (en negro), (b) Humedad Relativa, (c) Rachas del viento y (d) la dirección del vector del viento (de donde viene el viento). Las líneas en rojo indican las series suavizadas a partir del promedio corrido de 24 hrs., de cada variable analizada.

La [Figura 7.2](#) muestra en: (a) Rosa de los vientos y (b) Rosa de vectores, los datos de velocidad y dirección del viento registrados durante el período agosto-septiembre del 2025: La velocidad y dirección predominante, fue del 1er. y 2do. Cuadrantes. La cercanía de ciclones tropicales, canales de baja presión y el monzón mexicano propios del verano, se asocian con velocidades de viento mayores a 5 m s^{-1} , con direcciones predominantes proveniente del noreste y sureste con el correspondiente ingreso de aire húmedo y cálido del Pacífico y Golfo de California. Algunos eventos de viento del este ($6 - 10 \text{ m s}^{-1}$) representan un 5% de la ocurrencia del viento. Los vectores en rojo en (b), indican los ejes principales de la dirección de máxima y mínima varianza (3er. Cuadrante) en los datos analizados.

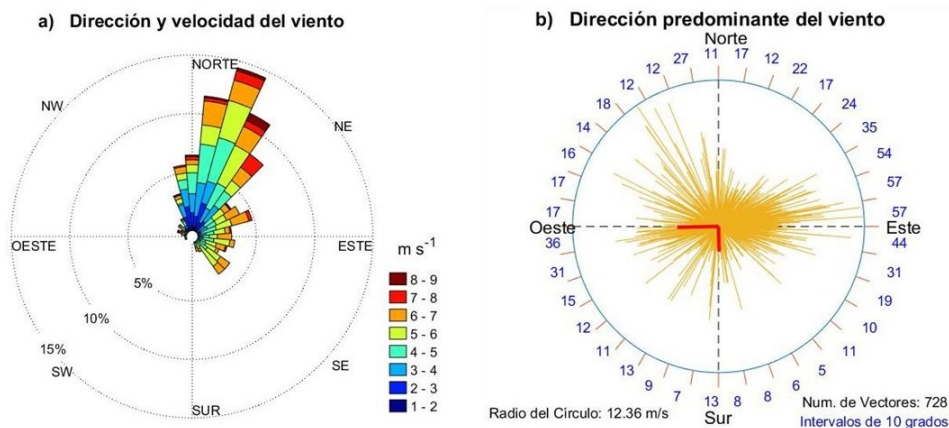


Figura 7.2: Velocidad y dirección (16 direcciones) del viento registradas durante el período de agosto-septiembre, 2025 (verano) en la BLPZ graficados como: a) Rosa del viento (dirección y velocidad) y (b) vectores del viento que indica la frecuencia y el número de vectores calculados (cada 10 grados). Los vectores en rojo indican los ejes principales promedio de la máxima y mínima varianza de La dirección del viento registrado durante el período analizado.

La [Figura 7.3](#) muestra en (a) la imagen de satélite MODIS-Aqua del día 02 de septiembre interpretada por donde se observa un evento nuboso cercano a la punta de la península de Baja California, En (b) se muestra la imagen interpretada por el Servicio Meteorológico Nacional (SMN) correspondiente al 25 de septiembre del 2025, donde se observan los diferentes fenómenos como canales de baja presión, trayectorias de ciclones tropicales y el primer frente frío de la temporada y que influyeron en el clima del noroeste de México (incluyendo a la BLPZ) generando una amplia zona de inestabilidad, eventos nubosos, acompañada de circulación ciclónica (baja presión). El ingreso de humedad proveniente de tormentas tropicales originó precipitaciones considerables y altos valores de humedad registradas en el sur de la península de Baja California.

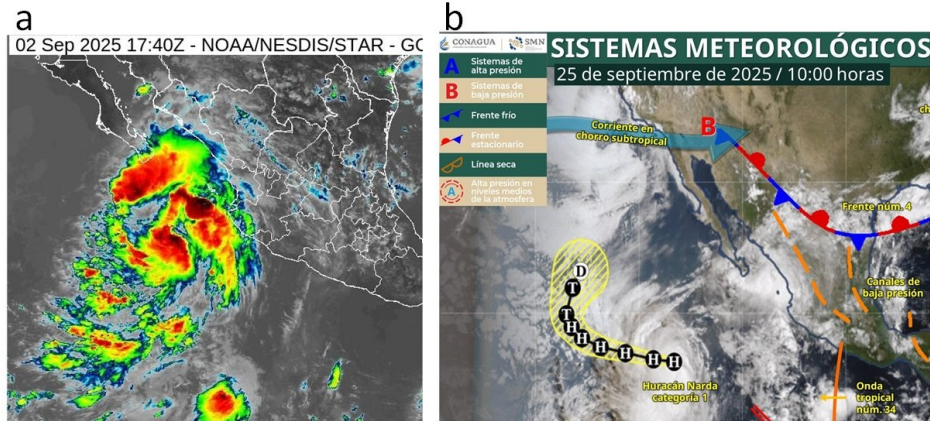


Figura 7.3: En (a) se muestra la imagen de satélite geostacionario GOES del día 02 de septiembre y en (b) la imagen interpretada por el Servicio Meteorológico Nacional (SMN) el 25 de septiembre, 2025 publicado en la página del SMN, fuente oficial del Gobierno de México. El recuadro de la derecha incluye la nomenclatura utilizada. (<https://smn.conagua.gob.mx/es/pronosticos/pronosticossubmenu/imagen-interpretada>).

Referencias

- Herrera-Cervantes, et al., 2023. Anomalous thermal and wind conditions drove low surface chlorophyll-a in La Paz Bay during the 2015–2016 El Niño event. *Estuarine, Coastal and Shelf Science*. 284, 1–12 pp. <https://doi.org/10.1016/j.ecss.2023.108280>.
- Obeso-Nieblas, M., Shirisago, B., Sánchez-Velasco, L., Gaviño-Rodríguez, J.H., 2004. Hydrographic variability in bahía de La Paz, B. C. S, México, during the 1997–1998 El Niño. *Deep-Sea Research II* 51, 689–710. <https://doi.org/10.1016/j.dsr2.2004.05.005>.
- Turrent, C., Zaitsev, O., 2014. Seasonal cycle of the near-surface diurnal wind field over the Bay of La Paz, Mexico. *Bound. Meteorol.* 151, 353–371. <http://doi:10.1007/s10546-014-9908-4>.
- SEMARNAT, 2014. Programa de manejo: Programa de manejo del Parque Nacional Zona Marina-Archipiélago Espíritu Santo. Secretaría de Medio Ambiente y Recursos Naturales, México.

8. Clima en el Valle de Santo Domingo

José Denis Osuna Amador
osuna.jose@inifap.gob.mx

Resumen | Con el propósito de analizar las variables de clima del mes de septiembre de 2025 y revisar su comportamiento con respecto a datos históricos, se utilizaron registros proporcionados por el observatorio meteorológico no. 3132 localizado en Ciudad Constitución, Baja California Sur, México. Los resultados mostraron una temperatura promedio para el mes de septiembre de 29.9 °C, mientras que los promedios mensuales de las temperatura máxima y mínima alcanzaron los 36.3 y 23.6 °C, respectivamente. Se presentaron anomalías positivas en la temperatura promedio mensual (1 °C) y en el promedio de la temperatura mínima (2.4 °C). Para el caso de la temperatura máxima se presentó una anomalía negativa de 0.3 °C. La evapotranspiración potencial (ET_o) promedio para el mes de septiembre fue de 5.8 mm/día, lo que fue equivalente a una pérdida de agua desde la superficie vegetal de referencia de 58 metros cúbicos por hectárea por día. La precipitación acumulada en el mes de septiembre de 2025 fue de 74.8 mm.

Introducción

El monitoreo de variables climáticas en una región es relevante para múltiples actividades, entre estas, la agricultura. Al conocer el comportamiento del clima se puede optimizar la producción de cultivos de interés. Tener acceso a los registros del clima permite identificar fechas adecuadas de siembra que favorezcan el desarrollo de las plantas, además de ser un insumo valioso en la toma de decisiones de manejo como la aplicación del riego, la aplicación de controles de plagas, enfermedades y malezas. Lograr lo anterior, contribuye al incremento de la productividad y rentabilidad de la agricultura. Citamos la frase popular “*Lo que no se estudia no se conoce, y lo que no se conoce no se puede gestionar*”, como una reflexión valiosa que puede perfectamente aplicar como justificante del estudio del comportamiento de variables climáticas y la aplicación posible del conocimiento resultante a la gestión de la producción agropecuaria. Con base en lo anterior, esta sección del boletín climático muestra el comportamiento de variables climáticas registradas en el mes de septiembre de 2025 por el observatorio meteorológico no. 3132 ubicado en Ciudad Constitución, Baja California Sur, México.

Área de estudio

Los valores de las variables fueron proporcionados por el observatorio meteorológico no. 3132 del Servicio Meteorológico Nacional - Comisión Nacional del Agua localizado en el Valle de Santo Domingo (25.00 ° Latitud N, -111.64° Longitud Oeste, a 48.3 msnm), Ciudad Constitución, Comondú, México. En esta área se ubica el Valle de Santo Domingo, principal zona agrícola de la entidad en la cual se establecen 29,000 hectáreas de diversos cultivos,

tales como, espárrago, alfalfa, maíz, trigo, naranja, tomate, papa, además de desarrollarse ganadería enfocada en la producción de carne y leche de bovinos, caprinos, ovinos y porcinos (SIAP, 2024a; SIAP, 2024b).

Metodología

Para el presente análisis, se utilizaron los registros diarios de temperaturas máximas y mínimas, así como la humedad relativa, insolación, velocidad del viento y valores de precipitación correspondientes al mes de septiembre de 2025. Con la información descrita, se estimaron las temperaturas promedios para el mes, a la par de identificar los días en el que se presentaron la temperatura más alta y la más baja. Adicionalmente, se realizó una comparativa entre las temperaturas presentadas en septiembre de 2025 con respecto a registros históricos del mismo mes (periodo 1982-2023), reportados en el inventario de registros por década de la misma estación. Asimismo, se estimó la evapotranspiración potencial (ETo) para cada día del mes de septiembre de 2025. La ETo representa la máxima cantidad de agua que puede perderse desde una superficie vegetal de referencia, cuando la cantidad de agua suministrada al suelo es ilimitada (Kirkham, 2005). El tomar en cuenta la ETo puede contribuir a la optimización del riego en cultivos agrícolas y de la producción de alimentos, además de generar una idea clara del volumen de agua que potencialmente se puede perder desde una superficie vegetal de referencia en función del comportamiento del clima (Cherlinka, 2025). Para el cálculo de la ETo se utilizó el software ETo Calculator versión 3.12 (FAO, 2025). Las variables empleadas en el cálculo de la ETo fueron los datos diarios de temperatura máxima y mínima (en °C), humedad relativa máxima y mínima (en %), insolación (en horas/día), así como la velocidad promedio del viento (m/s).

Resultados

Comportamiento de la temperatura y humedad en el mes de septiembre de 2025

La **Figura 8.1** muestra el comportamiento diario de la temperatura y humedad relativa en lo que va del año 2025; aunque en este análisis nos enfocamos a lo suscitado en estas variables en el mes de septiembre. El día 01 de septiembre de 2025 se presentó la temperatura más alta con un registro de 41.2 °C, mientras que el 30 de septiembre se registró la temperatura más baja con 17.8 °C. En cuanto al promedio de la humedad relativa máxima del mes fue de 97.1 %; el promedio de la humedad relativa mínima fue de 49 %.

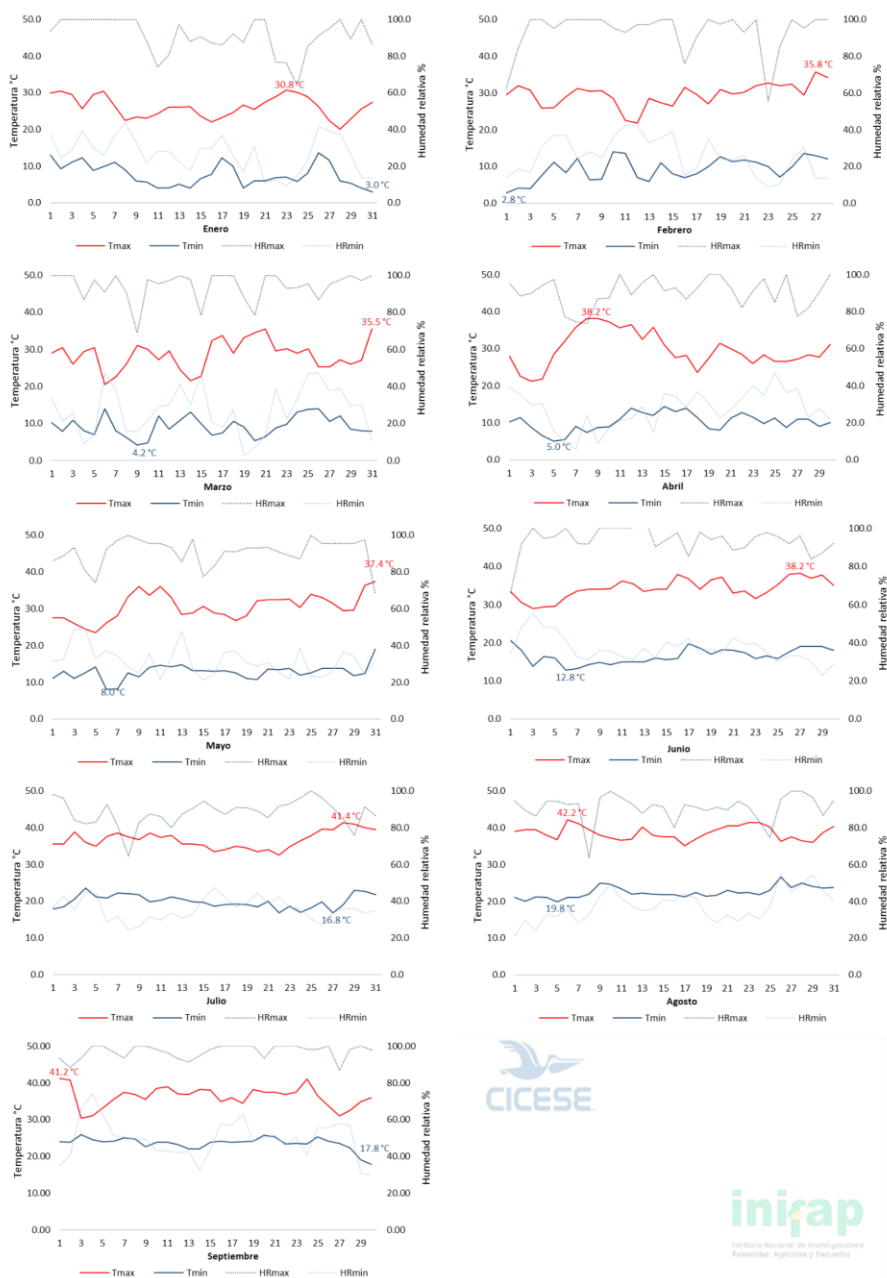


Figura 8.1: Comportamiento de la temperatura y humedad relativa al mes de septiembre de 2025. Tmax= Temperatura máxima. Tmin= Temperatura mínima. HRmax= Humedad relativa máxima. HRmin= Humedad relativa mínima. Los valores en rojo y azul dentro de cada mes, indican el valor más alto y el más bajo de las temperaturas máxima y mínima, respectivamente.

Comportamiento de las temperaturas en septiembre de 2025 vs registros históricos

El mes de septiembre de 2025 presentó una temperatura promedio de 29.9 °C (Figura 8.2a), valor que se ubicó 1 °C por arriba del promedio histórico (datos 1982-2023) del mes. Asimismo, al comparar los promedios mensuales de las temperaturas máximas y mínimas con respecto a los promedios históricos, se registraron anomalías, negativa (0.3 °C) y positiva (2.4 °C), de manera respectiva. (Figura 8.2b).

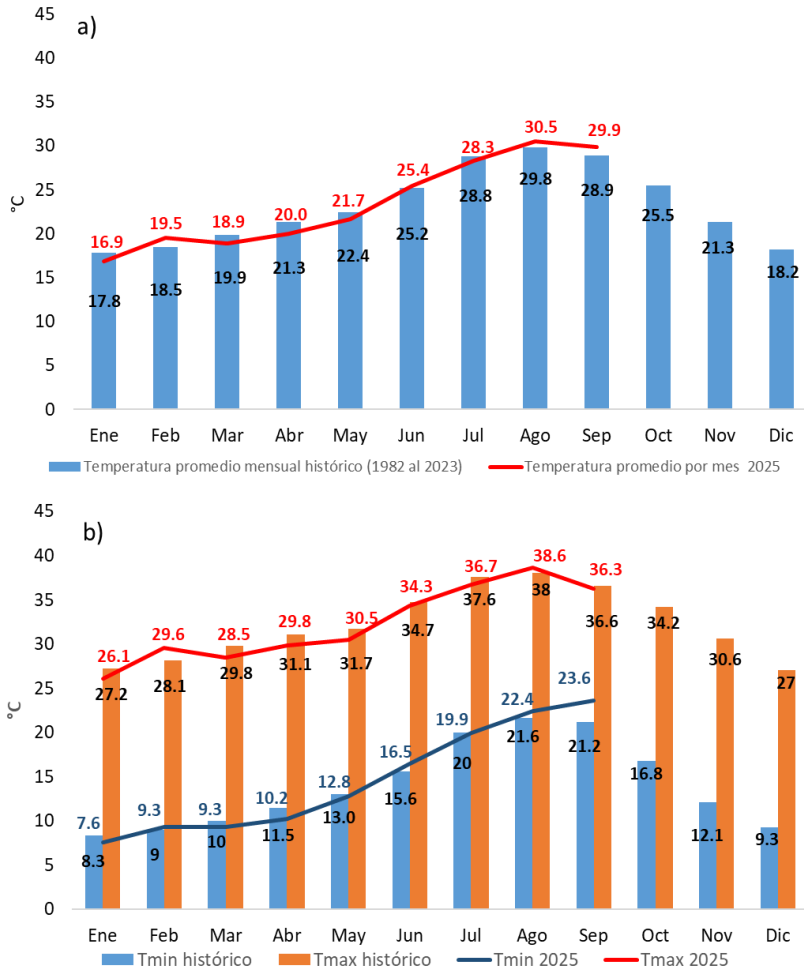


Figura 8.2: a) Comparativo de los promedios mensuales de la temperatura media (periodo 1982-2023) con respecto al registrado al mes de septiembre de 2025. b) Comparativo entre los promedios de temperaturas máximas y mínimas históricas (1982-2023) con respecto a los promedios presentados al mes de septiembre de 2025. Tmax= Temperatura máxima. Tmin= Temperatura mínima.

Evapotranspiración potencial (ETo) en el mes de septiembre de 2025

La [Figura 8.3a](#) muestra el comportamiento de las variables a partir de las cuales se calculó la ETo para cada día de septiembre de 2025, mientras que la [Figura 8.3b](#) muestra los valores de ETo para cada día del mismo mes; el valor promedio de esta variable para septiembre de 2025 fue de 5.8 mm/día con una desviación estándar de 0.9 mm/día. Considerando que un mm equivale a un volumen de 10 metros cúbicos por hectárea, entonces la cantidad promedio por día de agua que pudo perderse desde la superficie vegetal de referencia en el mes de septiembre de 2025 fue de 58 ± 9 metros cúbicos por hectárea; volumen que habría que reponer a través del riego considerando un ajuste ligado al tipo de cultivo, etapa fenológica, eficiencia del sistema de riego utilizado, así como al intervalo de riego definido en días relacionado al nivel de abatimiento de la humedad aprovechable propio de cada tipo de suelo.

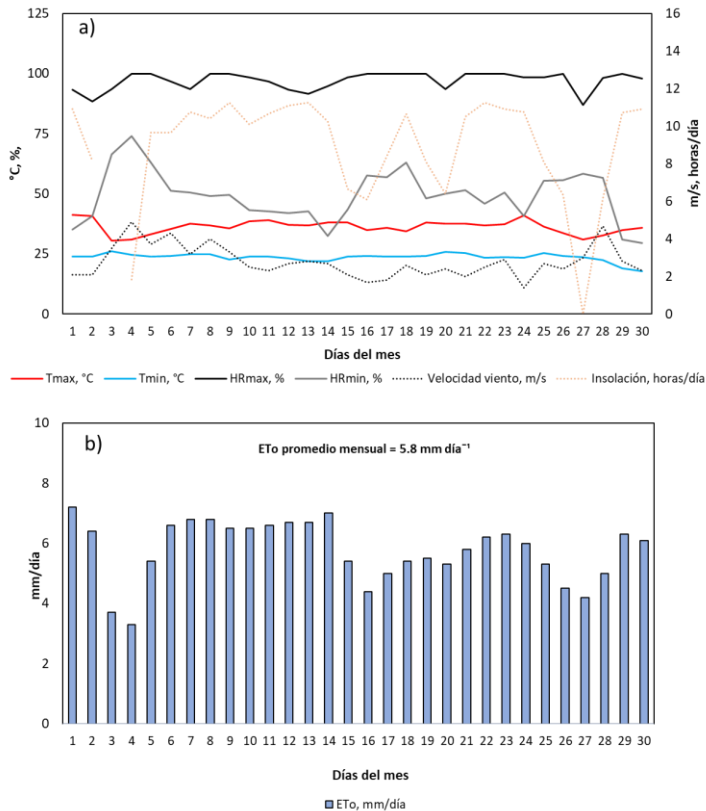


Figura 8.3: a) Comportamiento de la temperatura máxima (Tmax), temperatura mínima (Tmin), humedad relativa máxima (HRmax) y mínima (HRmin), velocidad del viento e insolación en el mes de septiembre de 2025. b) Comportamiento de la evapotranspiración potencial (ETo) para el mes de septiembre de 2025.

Precipitación acumulada en el mes de septiembre de 2025

Durante el mes de septiembre de 2025 se registraron ocho días con precipitación acumulándose en el mes un total de 74.8 mm (Figura 8.4). Dado que el promedio histórico de la estación para el mes de septiembre es de 34 mm (Ruíz et al., 2006), el mes presentó una anomalía positiva de 40.8 mm.

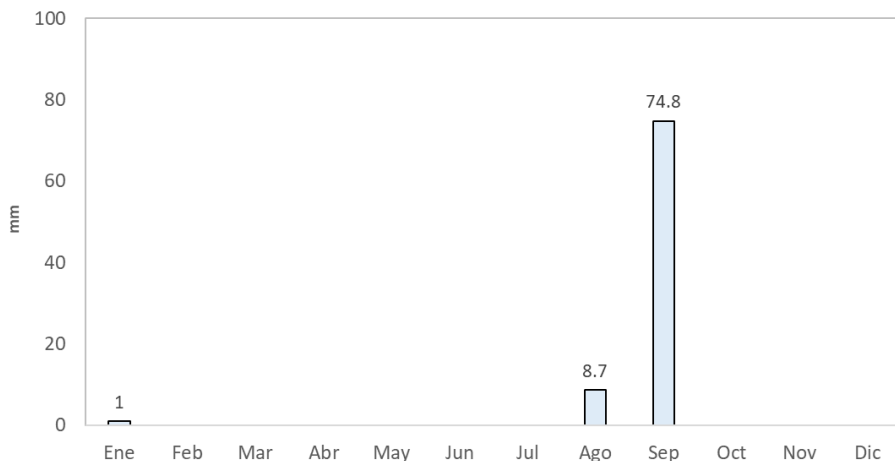


Figura 8.4: Precipitación acumulada por mes hasta septiembre de 2025.

Referencias

- Cherlinka, V. 2025. Evapotranspiration process and methods of measuring. Disponible en: <https://eos.com/blog/evapotranspiration/>
- FAO (Food and Agriculture Organization). 2025. ETo Calculator. Disponible en: <https://www.fao.org/land-water/databases-and-software/eto-calculator/es/>
- Kirhkam, M.B. 2005. Potential evapotranspiration. Principles of Soil and Plant Water Relations. Academic Press. Pages 455-468. <https://doi.org/10.1016/B978-012409751-3/50026-8>
- Ruíz C., J. A., Medina G., G., Meza S., R., Díaz P., G., Serrano A., V. 2006. Estadísticas climatológicas del estado de Baja California Sur (periodo 1961-2003). CIRNO-INIFAP. 267p.
- SIAP (Sistema de Información Agroalimentaria y Pesquera). 2024a. Histórico de avance de siembras y cosechas. Disponible en: https://nube.siap.gob.mx/avance_agricola/
- SIAP (Sistema de Información Agroalimentaria y Pesquera). 2024b. Producción ganadera. Disponible en: <https://www.gob.mx/siap/acciones-y-programas/produccion-pecuaria>

9. Ciclones tropicales

Luis Manuel Farfán Molina
farfan@cicese.edu.mx

Resumen | En esta sección del boletín se ilustran patrones de trayectoria e intensidad de los ciclones tropicales que se presentaron durante el mes de septiembre con énfasis en su aproximación e impacto en Baja California Sur.

El mes de septiembre es, frecuentemente, uno de los más activos en la cuenca del Océano Pacífico oriental (e.g., Blake *et al.*, 2009), además de presentar la mayor parte de los casos en que los ciclones tropicales cruzan la costa occidental de México. En ciertos casos se logra cruzar la costa para internarse en el noroeste del país mediante trayectorias con recurvatura (Farfán *et al.*, 2012).

Introducción

Los ciclones tropicales son eventos meteorológicos que se presentan durante los meses cálidos del año (junio-octubre) sobre el Océano Pacífico. Regularmente, inician al sur de México y después de varios días se organizan en circulaciones más intensas en la que la velocidad máxima de viento es mayor a 120 km/h. Su radio de influencia es variable pero pueden llegar a cubrir varios cientos de kilómetros tanto en su campo de viento así como en el de humedad del aire y precipitación. La cercanía de un ciclón tropical a la costa puede representar un riesgo relevante para la población, la infraestructura y para el medio ambiente. Aunque también puede ser de beneficio en las actividades agrícolas y ganaderas entre otras ramas de la economía productiva. Esta es una de las razones por lo que es importante y necesario documentar el comportamiento espacial y temporal de los ciclones tropicales.

Área de estudio

El Centro Nacional de Huracanes en Estados Unidos (CNH, <https://www.nhc.noaa.gov>) y el Servicio Meteorológico Nacional de México (SMN, <https://smn.conagua.gob.mx>) mantienen un monitoreo de forma constante en el Océano Pacífico oriental que está limitado por 140°W así como por la costa occidental de Centroamérica, México y Estados Unidos (https://www.nhc.noaa.gov/pdf/tracking_chart_epacific.pdf).

No hay límite al norte y sur pero la mayor parte de los ciclones tropicales inician al norte de 5°N y raramente se desplazan al norte de 30°N. También, en algunos casos se llegan a desplazar al oeste de 140°W dentro de la región que se denomina el Océano Pacífico central (e.g., https://www.nhc.noaa.gov/pdf/tracking_chart_cpacific.pdf).

Metodología

Se utiliza la base de datos Automated Tropical Cyclone Forecasting System (ATCF, https://science.nrlmry.navy.mil/atcf/docs/html/ATCF_UM_ToC.html) desarrollada por el gobierno de Estados Unidos como una aplicación basada en computadoras que permiten la automatización y optimización de los procesos de pronóstico en los centros regionales e internacionales de alertamiento.

En particular, se utiliza la versión de acceso a ATCF por medio del paquete gráfico IDV (Integrated Data Viewer, <https://www.unidata.ucar.edu/software/idv>) desarrollada por Unidata. Esta versión permite graficar trayectorias e intensidades observadas así como los pronósticos oficiales emitidos cada 6 horas mientras el ciclón tropical se encuentra activo. De forma complementaria, se utilizan los reportes elaborados por el CNH (<https://www.nhc.noaa.gov/data/tcr/index.php?season=2025&basin=epac>) así como los reportes de lluvia acumulada observada por la red de estaciones del SMN (<https://smn.conagua.gob.mx/es/ciclones-tropicales/lluvias-asociadas-a-ciclones-tropicales>).

Resultados

El monitoreo del CNH y SMN determinó que solamente cinco ciclones tropicales (Kiko, Lorena, Mario, Narda y Octave) se desplazaron por el Océano Pacífico oriental durante el mes de septiembre; ninguno de ellos tuvo un impacto directo en la costa occidental de México ni en Baja California Sur. Como parte de su ciclo de desarrollo, Kiko inició su desarrollo desde el 31 de agosto y se mantuvo activo hasta el 10 de septiembre alcanzando intensidad máxima de 231 km/h (categoría 4). El centro del siguiente ciclón tropical (Lorena, [Figura 9.1](#)) llegó a estar a 100–200 kilómetros de Cabo San Lucas y durante más de tres días consecutivos proporcionó lluvias moderadas en varias localidades del estado con cantidades acumuladas mayores a 250 mm. Un análisis del campo de temperatura de agua de mar en septiembre indicó que Lorena se desplazó sobre regiones en las que las isotermas tenían valores mayores a 26°C.

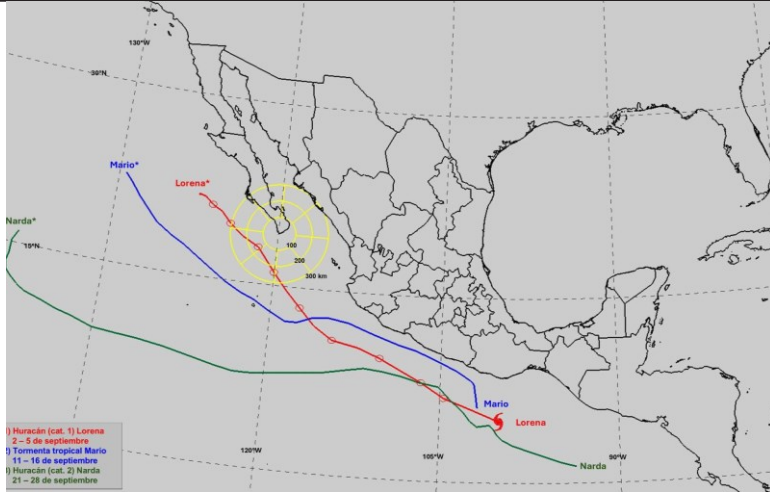


Figura 9.1: Trayectorias de tres ciclones tropicales seleccionados del mes de septiembre de 2025 en el Océano Pacífico oriental. El nombre se indica tanto en la posición final de cada caso. Los datos para elaborar la figura se tomaron del Centro Nacional de Huracanes, ftp://ftp.nhc.noaa.gov/atcf.

Las acumulaciones de lluvia durante el periodo de aproximación (2–5 de septiembre) de Lorena se muestran en la [Figura 9.2](#). Los valores más altos (mayores a 250 mm) se presentaron en localidades al este del municipio de Los Cabos con un máximo de 300 mm en Santa Anita; la estación meteorológica correspondiente se encuentra a menos de 5 kilómetros del aeropuerto de San José del Cabo. Durante este mismo periodo La Paz reportó 37.5 mm mientras que San José del Cabo 226 mm, Cabo San Lucas 176 mm y Mulegé 153.5 mm.

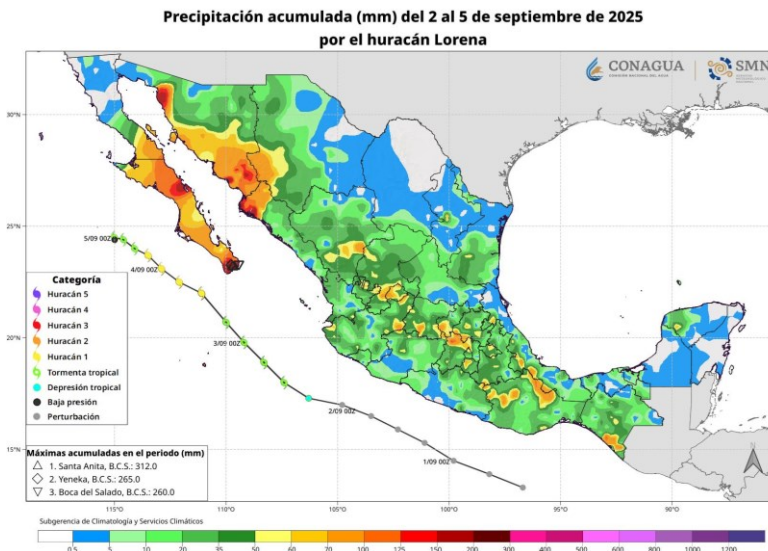


Figura 9.2: Trayectoria del huracán Lorena que se presentó durante el mes de septiembre de 2025 en el Océano Pacífico oriental. La imagen se tomó del SMN https://smn.conagua.gob.mx/tools/RECURSOS/com_mapas_lluvias/hp-Lorena.jpeg. Contornos en color representan la lluvia acumulada (mm) en la red de estaciones del SMN.

Un par de aspectos interesantes en el desarrollo del huracán Lorena fueron las observaciones adicionales de monitoreo que estuvieron disponibles durante su cercanía al sur del estado. Por una parte, el radar del Servicio Meteorológico Nacional en Cabo San Lucas (Figura 9.3). De esta forma fue posible determinar la estructura del campo de lluvia así como la estructura de Lorena incluyendo [el centro de circulación correspondiente](#). Por otra parte, un avión de la Fuerza Aérea de Estados Unidos realizó un vuelo de reconocimiento en el interior de Lorena. Con la información recopilada y transmitida por el avión fue posible determinar con precisión [la intensidad de la nubosidad así como la estructura del campo de viento asociado a Lorena](#).

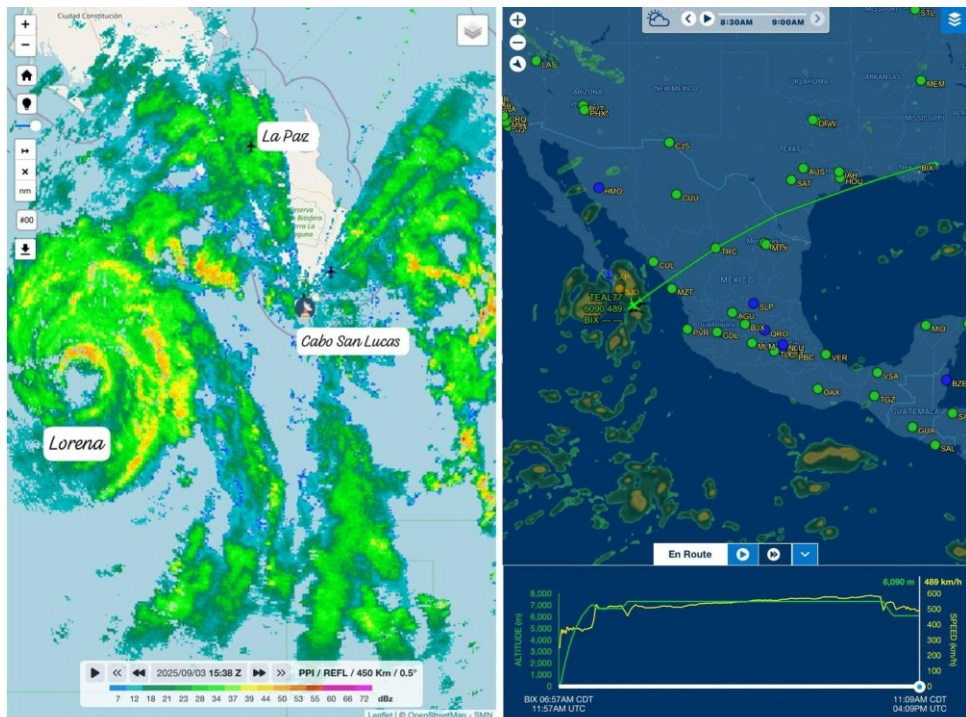


Figura 9.3: Imagen del radar del Servicio Meteorológico Nacional en Cabo San Lucas, 3 de septiembre (08:38 hora local) en el margen izquierdo; los colores indican una aproximación a la cantidad de lluvia en la que los tonos amarillo y naranja son los de mayor intensidad. En el margen derecho, trayectoria de un avión cazahuracanes de la Fuerza Aérea de Estados Unidos para tomar observaciones en el interior de Lorena; este vuelo inició en la base [Keesler](#) localizada en la costa del Golfo de México y la imagen correspondiente fue tomada de <https://www.flightaware.com>.

Referencias

Blake, E. S., Gibney E. J., Brown D. P. , Mainelli M. , Franklin J. L. , Kimberlain T. B. , and Hammer G. R. , 2009: Tropical cyclones of the eastern north Pacific basin, 1949-2006. Historical Climatology Series 6-5, National Climatic Data Center, 162 pp.

Farfán, L. M., R. Romero-Centeno, and G. B. Raga, 2012: Observations and forecasts from the landfall of tropical cyclones John, Lane, and Paul (2006) over northwestern Mexico. *Weather and Forecasting*, 27, 1373–1393, <https://doi.org/10.1175/WAF-D-11-00108.1>.

10. Temperatura del aire en el Golfo de California

Carlos Robinson M.
robmen@unam.mx

Resumen | Animación del patrón promedio mensual (2000-2024) de la temperatura superficial del mar, concentración superficial de clorofila-a y vectores de viento contrastando el Golfo de California y costa oeste de la península de Baja California.

Metodología

Temperatura Superficial del Mar (TSM). El término TSM se refiere a la capa o piel del océano y representa la temperatura de la capa subsuperficial a una profundidad entre 10–20 μm . La TSM es un producto proporcionado por el laboratorio de oceanografía de propulsión a chorro de la agencia espacial de los Estados Unidos (JPL y NASA, respectivamente, por sus siglas en inglés). Es un producto global que no presenta huecos por nubosidad con una resolución temporal diaria y espacial de 1x1 km (Chin et al., 2017) (<https://doi.org/10.5067/GHGMR-4FJ04>), accedido el 5 de enero de 2025.

Resultados

La temperatura (SST) y concentración de clorofila-a (Chl-a) superficial del mar en el Golfo de California y la costa oeste de Baja California presentan una marcada variabilidad estacional parcialmente influenciada por la dirección y velocidad de los vientos. Cambios de celdas de presión atmosféricas movilizan la atmósfera en patrones de viento que fluyen de regiones de mayor a menor presión atmosférica regulando así los procesos de mezcla de la columna de agua, el transporte de masas superficiales de agua y los eventos de surgencias costeras. Diversos estudios han documentado previamente esta variabilidad estacional de estas (Heras-Sánchez et al., 2019; Gutiérrez-Cardenas et al., 2024). Calcular y conceptualizar un patrón promedio de variabilidad y espacio temporal permite tener un marco de referencia para calcular anomalías explícitas para inferir cambio climático permitiendo comparar de manera simultánea miles de sitios (píxeles) a través de una serie de tiempo.

La presente investigación calcula los valores promedio de datos mensuales temperatura concentración de Chl-a superficial del mar y los vectores de dirección y velocidad del viento del periodo 2000-2024 del noroeste de México con énfasis en contrastar diferencias entre las condiciones prevalecientes en la costa occidental de la península de Baja California y el Golfo de California y son mostradas en una animación (Figura 10.1). La orografía de la extensa península de Baja California modifica la dirección y velocidad promedio de los

vectores de viento en el Golfo de California que es el golfo más grande del Océano Pacífico. Es necesario entender que estas condiciones mensuales promedio no necesariamente pudieran caracterizar un año promedio debido a las relaciones no lineales y multivariadas que influyen a estas tres variables ambientales. Es decir, no existe un año en la serie de tiempo en el que todos los meses tengan valores mensuales promedio. Los datos de SST y concentración de Chl-a superficial del mar provienen de los sensores MODIS (Moderate Resolution Imaging Spectroradiometer) con una resolución espacial de 4 km y los vectores de viento de MERRA (Modern-Era Retrospective Analysis for Research and Applications) con una resolución de 16 km para los vectores de viento.

Se calculó una animación que permite visualizar claramente los cambios promedio de estas tres variables a lo largo del año. La animación muestra cómo la velocidad y dirección del viento cambia estacionalmente. Los vientos del noroeste se alinean casi paralelamente al Golfo de California y a la costa del Pacífico (con reducida fricción con la orografía de la península) entre octubre y abril aumentando su velocidad y manteniendo una dirección relativamente constante hasta abril, momento en que los vectores de viento comienzan a girar hacia el este dentro del Golfo que inicia un desacoplamiento de lo que ocurre en ambos lados de la península de Baja California. Durante mayo los vientos mantienen una dirección constante del noroeste. De marzo a abril, se observa claramente el cambio de dirección del viento hacia el este en el Golfo. Entre mayo y junio (junio es la transición de temporada fría-cálida), esta tendencia hacia el este se intensifica en el Golfo disminuyendo la velocidad del viento, mientras que en la costa occidental de la península de Baja California los vientos permanecen predominantemente del noroeste. Desde mayo hasta septiembre, los vientos en el Golfo son débiles y no muestran un patrón definido por lo que la surgencia en la parte continental del golfo desaparecen y causan estratificación de la columna de agua, pero los vientos vuelven a alinearse provenientes del noroeste en noviembre que es considerado la transición estacional cálida-fría.

La temperatura y concentración de Chl-a superficial del mar presentan patrones inversos entre ambas variables en función de la velocidad y dirección del viento. A partir de noviembre (transición cálida-fría), la temperatura superficial del mar comienza a disminuir hasta marzo, que era considerado el periodo cuando la TSM está por debajo del promedio anual, alcanzando su mínima temperatura promedio en febrero, con un gradiente térmico relativamente más cálido hacia el interior del Golfo. En la costa occidental de la península de Baja California, la temperatura continúa debajo del promedio de todo el año hasta mayo y posteriormente en junio (transición) aumenta hasta octubre que caracteriza la temporada cálida con temperaturas por encima del promedio anual de cada sitio (pixel). La concentración de clorofila-a superficial del mar tiene un patrón opuesto empieza a aumentar en noviembre en el Golfo de California alcanzando sus máximas concentraciones en marzo y

disminuye considerablemente entre junio u octubre con las menores concentraciones en agosto. En la costa occidental de la península de Baja California, la concentración superficial de Chl-a presenta un desacoplamiento y retraso con respecto al Golfo de California con un incremento significativo que inicia en febrero y continúa hasta junio, reduciéndose nuevamente durante el verano (julio-octubre).

Esta animación representa los patrones de cambios promedio mensuales de la variabilidad estacional típica de estas tres variables ambientales. Procesos climáticos como las ondas marina de calor de estacional, semanal-mensual, el El Niño Oscilación de Sur (fase fría La Niña, neutral, o cálida El Niño) o variabilidad decadal (Oscilación decadal del Pacífico) modificar temporalmente estos patrones promedio y son los responsables de las anomalías observadas en la climatología de esta serie de 25 años que va a ser mostrada en una animación de un reporte futuro.

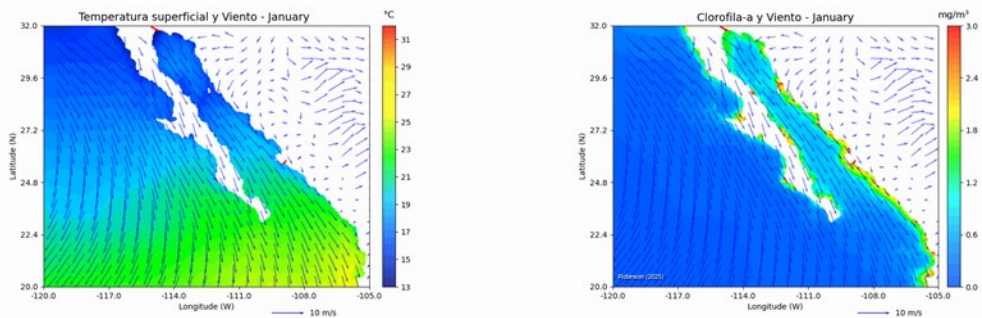


Figura 10.1: Animación de (izq) temperatura superficial del mar (SST) y viento; (der) clorofila y viento.

Referencia

- Gutiérrez-Cárdenas, G. S., Morales-Acuña, E., Tenorio-Fernández, L., Gómez-Gutiérrez, J., Cervantes-Duarte, R., & Aguñiga-García, S. (2024). El Niño–Southern Oscillation Diversity: Effect on Upwelling Center Intensity and Its Biological Response. *Journal of Marine Science and Engineering*, 12(7), 1061.
- Heras-Sánchez, M. del C., Valdez-Holguín, J. E., Garatuzza-Payán, J., Cisneros-Mata, M. Á., Díaz-Tenorio, L. M., & Robles-Morua, A. (2019). Regiones del Golfo de California determinadas por la distribución de temperatura superficial del mar y concentración de clorofila-a. *Biotechnia*, 21(1), 13-21.

BOLETÍN CLIMÁTICO DE BCS

AÑO 1 | NÚMERO 9 | SEPTIEMBRE 2025

CONTENIDO

PRESENTACIÓN

ARMANDO TRASVIÑA CASTRO

NOVEDADES

NIVEL DEL MAR

TEMPERATURA SUPERFICIAL DEL
MAR PRODUCTIVIDAD PRIMARIA Y
ALTIMETRÍA SATELITAL

PAISAJES PELÁGICOS

MONITOREO SATELITAL DE
FLORECIMIENTOS ALGALES

VIENTO (VTO) IN SITU

CONDICIONES METEOROLÓGICAS
EN LA BAHÍA DE LA PAZ

CLIMA EN EL VALLE DE SANTO
DOMINGO

CICLONES TROPICALES

TEMPERATURA DEL AIRE EN EL
GOLFO DE CALIFORNIA

FOTOGRAFÍA DE CONTRAPORTADA:

HUGO HERRERA CERVANTES,
HERNANDO TORRES CHAVEZ.

